

ТРЕТЬЯ РОССИЙСКАЯ КОНФЕРЕНЦИЯ

ГРАФЕН

МОЛЕКУЛА И 2D КРИСТАЛЛ

5-9 августа 2019 года

ИССЛЕДОВАНИЕ УГЛЕРОДНЫХ МАТЕРИАЛОВ МЕТОДАМИ СКАНИРУЮЩЕЙ ЗОНДОВОЙ МИКРОСКОПИИ И СПЕКТРОСКОПИИ ВЫСОКОГО ПРОСТРАНСТВЕННОГО РАЗРЕШЕНИЯ

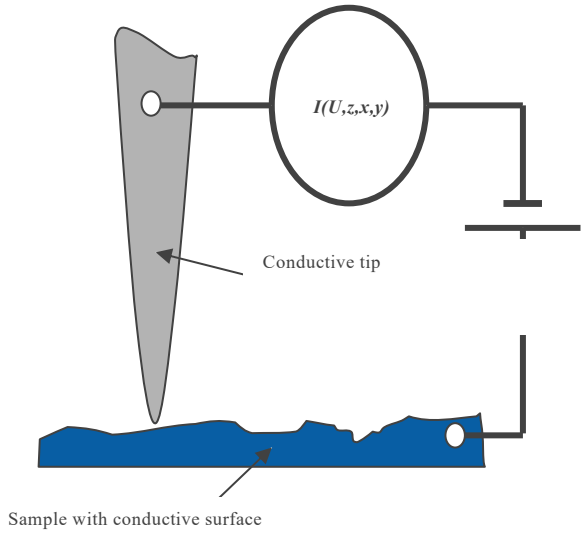
09 Августа 2019

В.А. Быков

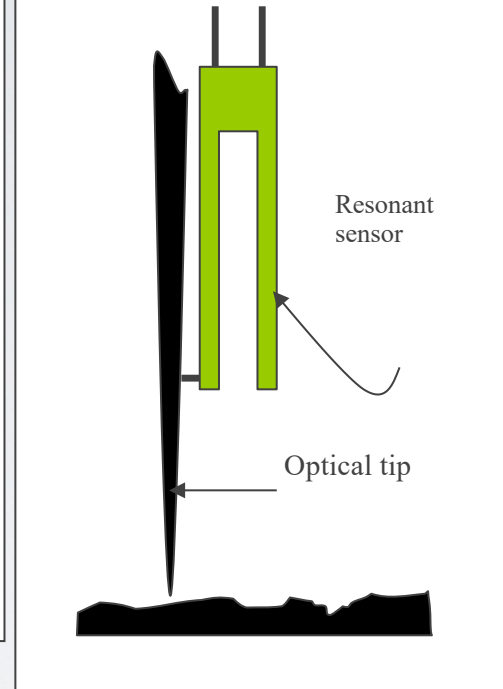
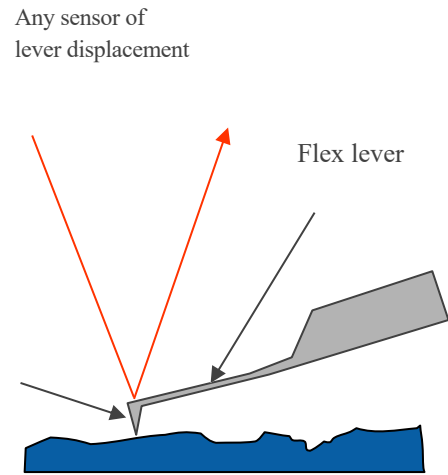
Группа компаний НТ-МДТ Спектрум Инструментс, Москва

*NT-MDT-Spectral Instruments,
124460, Russia, Moscow, Zelenograd, Proezd 4922, 4/3
www.ntmdt-si.com, spm@ntmdt-si.ru
Нанотехнологическое общество России
www.rusnor.org
Moscow Institute of Physics and Technology,
141701, Russia, Moscow6 Dolgoprudny, 9 Institutskiy per.*

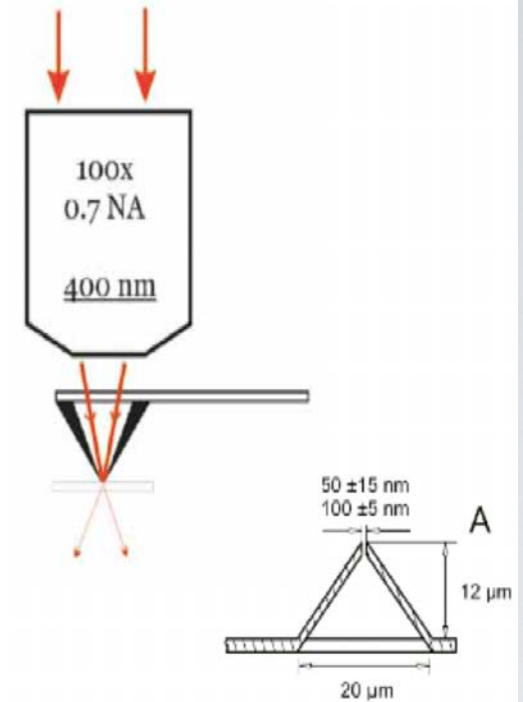
Scanning Probe Microscopy (SPM)



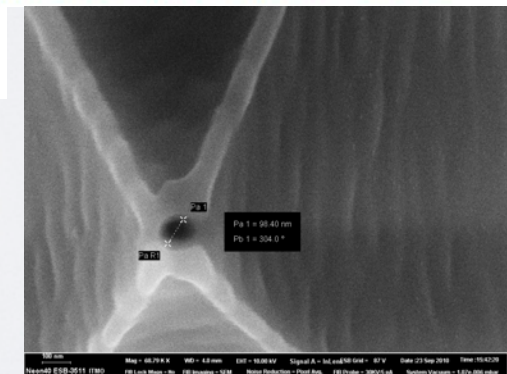
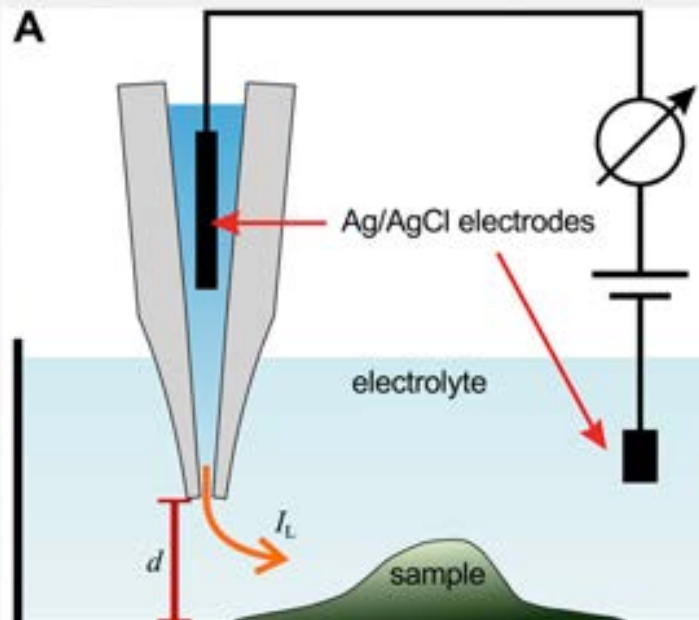
Scanning Tunneling
Microscopy
Conductive samples



Silicon cantilevers with aperture

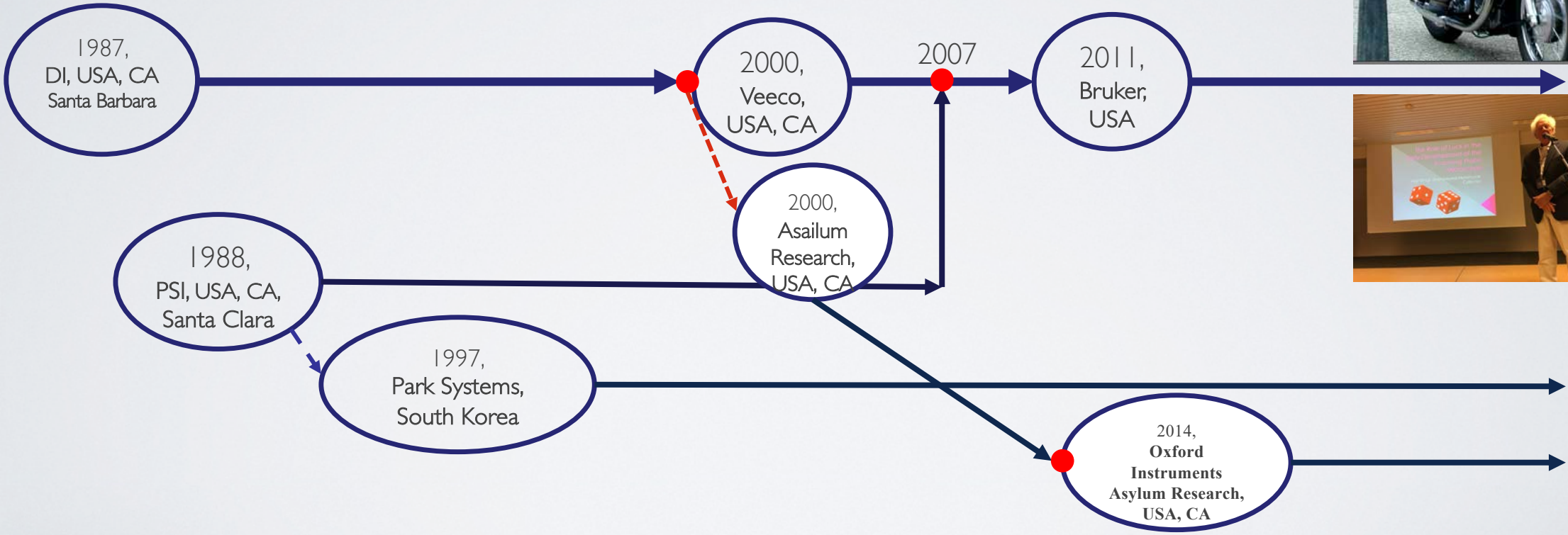


NT-MDT produces all hardware and software to
work with such probes at all SNOM modes.



1966 - 1981 – Изобретение СТМ, Рассел Янг (1966), Герд Бинниг, Герберд Рорер (1979), Эрнст Руска (ЭМ)
 Нобелевская премия за изобретение туннельной и электронной микроскопии 1986)
 1986 – Изобретение АСМ (Герд Бинниг, Кристофер Гербер, Кельвин Куэйт)

In 1987, while on sabbatical, Vergil Elings co-founded Digital Instruments (DI), which became the world's leader in the design and manufacture of Scanning Probe Microscopes (SPMs)



Global Atomic Force Microscopes (AFM) Market Insights, Forecast from 2018 to 2025

Chapter Eight **Manufacturers Profiles**

8.1 Bruker Corporation

8.2 JPK Instruments

8.3 NT-MDT SI

8.4 Keysight Technologies

8.5 Park Systems

8.6 Witec

8.7 Asylum Research(Oxford Instruments)

8.8 Nanonics Imaging

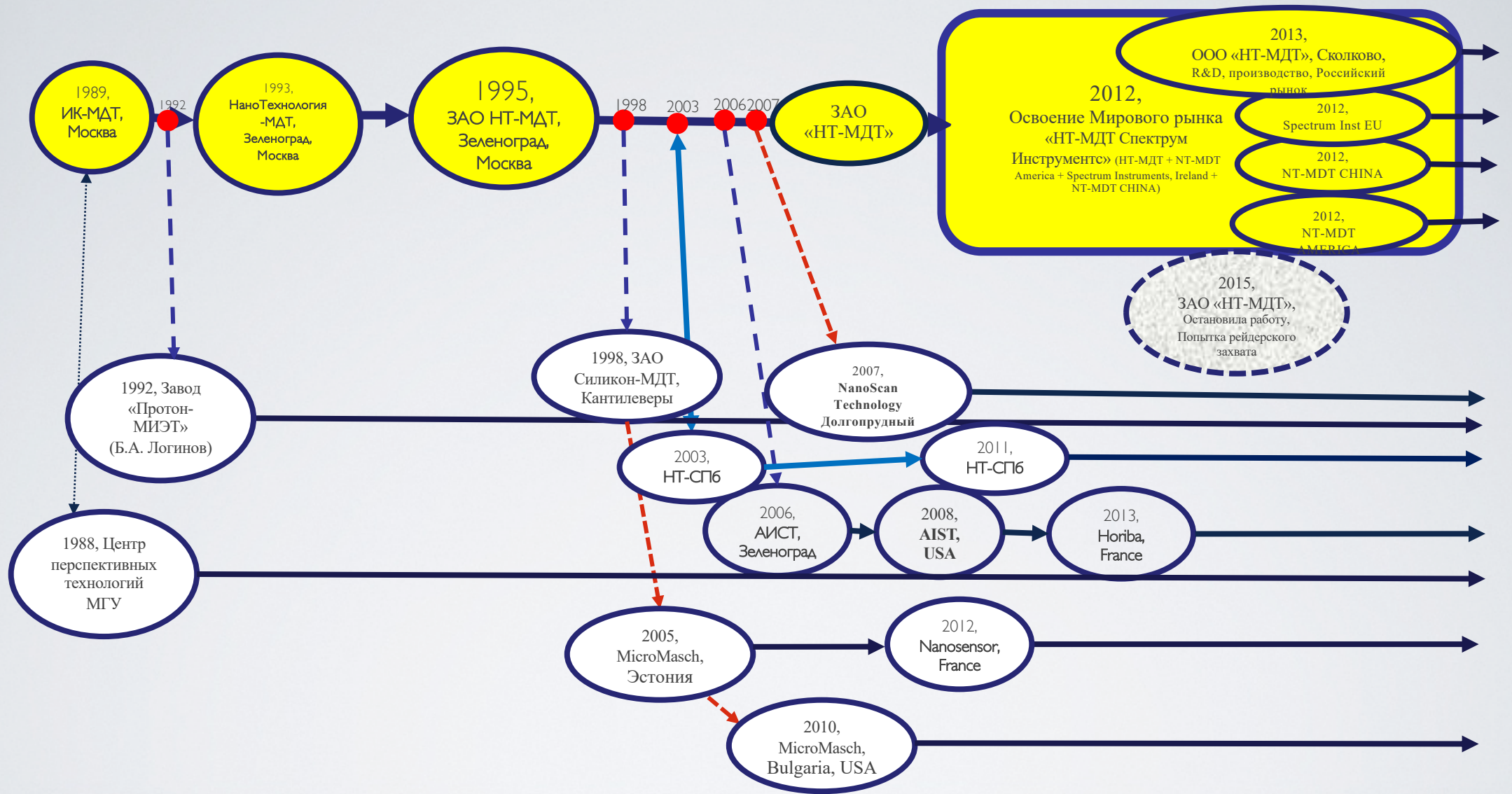
8.9 Nanosurf

8.10 Hitachi High-Technologies

8.11 Anasys Instruments

8.12 RHK Technology

8.13 A.P.E. Research



Коллектив разработчиков – самый опытный на мировом рынке – опыт работы с 1989 года



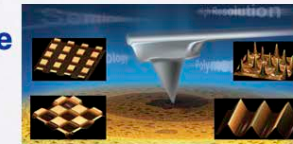
НАНОФАБЫ (патент №2308782Е, 6,05)



Классы для образования
в области нанотехнологий
с приборами
НАНОЭдюкатор



НАНОЛАБЫ

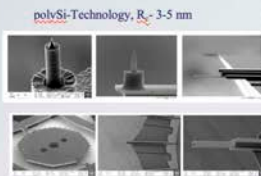


Аксессуары

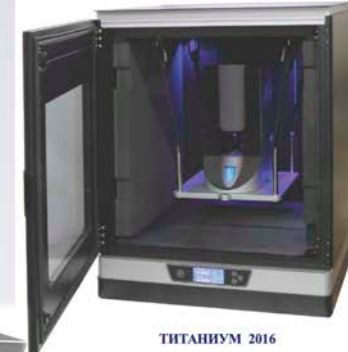
NT-MDT Spectrum Instruments Продуктовая линия 2018



ИНТЕГРА-СПЕКТРА-4P 2016



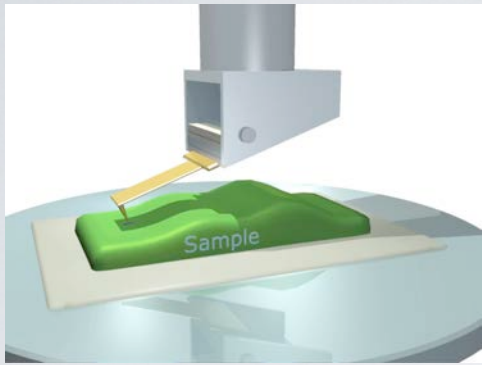
Новые типы кантиллеров (2015-2016 гг.)



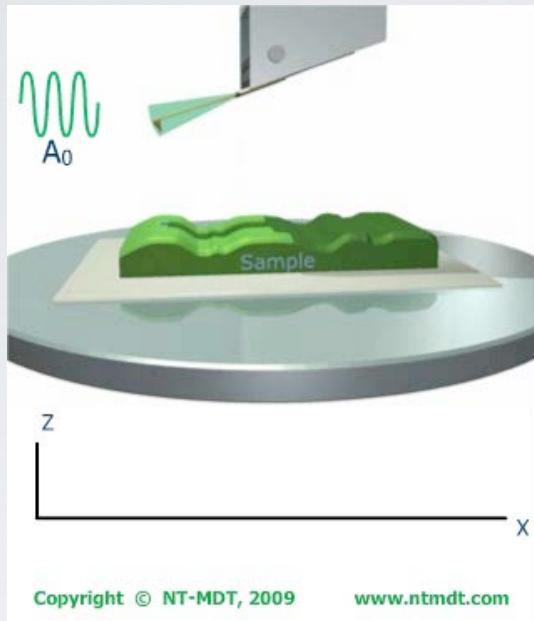
SOLVER-Pipe -2017



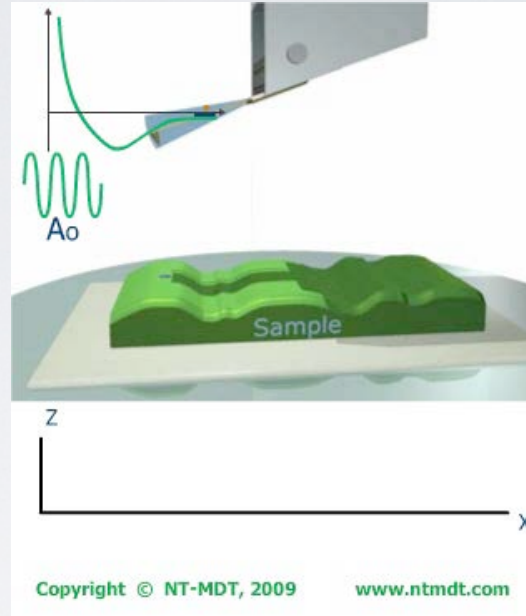
In modern SPM more than 40 different modes of studying the surface



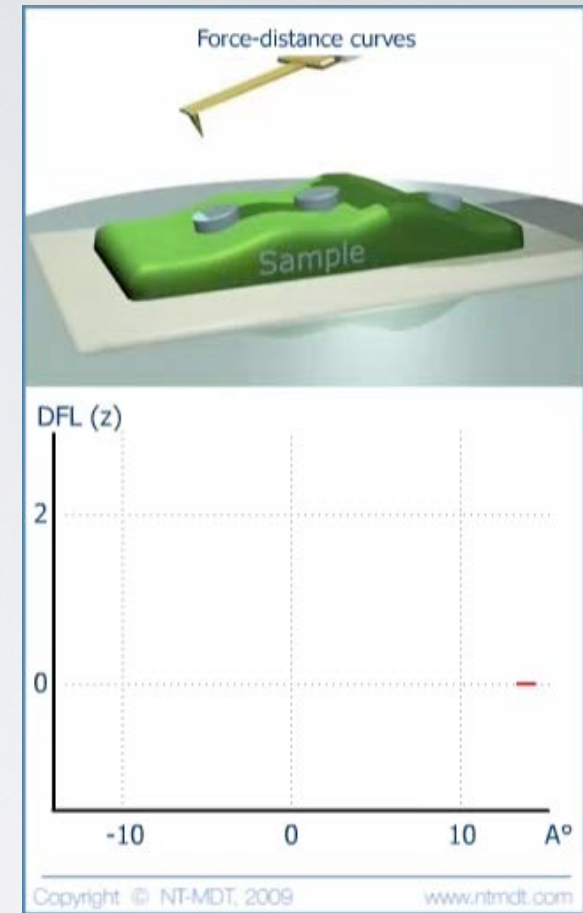
Contact AFM mode



Semicontact SPM –
Tapping mode



Noncontact SPM mode

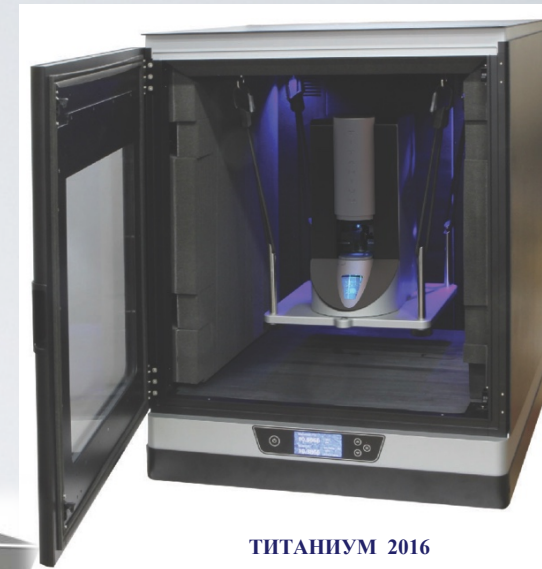
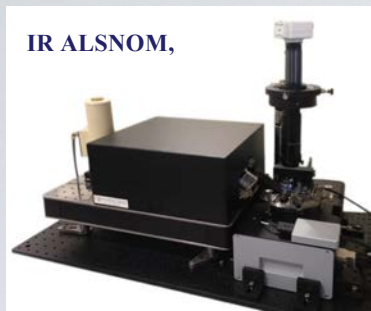


Scanning Force spectroscopy – Hybrid
(PeakForce) mode

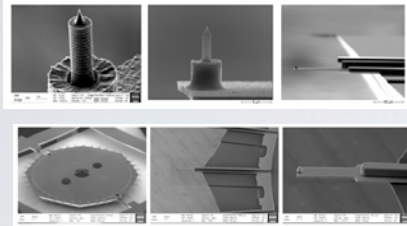
Research environments: Air, controlled atmosphere, liquids, electrolytes, vacuum
from 10^{-3} to 10^{-11} torr

- ❖ Туннельная микроскопия и спектроскопия;
- ❖ Профиль поверхностных структур и его зависимость от давления прижима;
- ❖ Неоднородность силы трения в системе зонд – поверхность;
- ❖ Неоднородность адгезионных сил;
- ❖ Распределение поверхностного потенциала (Кельвин-мода);
- ❖ Распределение электрической емкости в системе кантилевер –поверхность;
- ❖ Распределение теплопроводности;
- ❖ Распределение модуля Юнга;
- ❖ Диагностика пределов упругой деформации;
- ❖ Распределение магнитных сил;
- ❖ Распределение пьезоэлектрических характеристик поверхностных структур;
- ❖ Распределение оптических свойств поверхности в видимой (спектроскопия комбинационного рассеяния с пространственным разрешением до 10 нм) и ИК области спектра с разрешением значительно превышающим дифракционные ограничения (ближнепольная безапертурная оптическая микроскопия);
- ❖ Безапертурная ИК и терагерцовая спектроскопия с пространственным разрешением до 10 нм – качественный анализ поверхности;
- ❖ Возможность модификации поверхности с созданием и исследованием свойств наноструктур

NT-MDT Spectrum Instruments Product Line



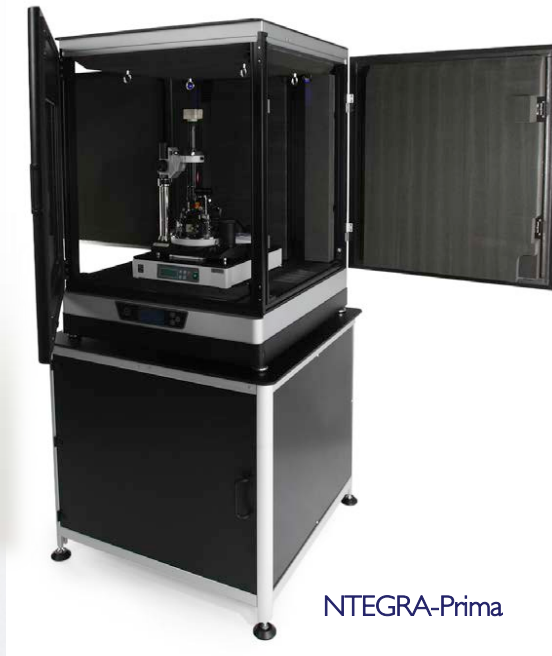
polySi-Technology, R_c - 3-5 nm



Новые типы кантилеров (2015 -2016 г.г.)



ИНТЕГРА-СПЕКТРА-4P



NTEGRA-Prima



SOLVER-Pipe -2017



Образовательный проект СТАРТ



15-03-1930 – 01-03-2019

Инициатором проекта по использованию сканирующих зондовых микроскопов в школах, колледжах, высших учебных заведениях был лауреат Нобелевской премии по физике Жорес Иванович Алферов. Идея оказалась жизнеспособной и популярной.

Разработки приборов начались с 2002 года. Последовательно было выпущено три поколения приборов этого типа. Уже вторая версия приборов – НАНОЭДЬЮКАТОР-II вошла в сотню лучших мировых разработок.

Учебно-исследовательский лабораторный комплекс НАНОЭДЬЮКАТОР

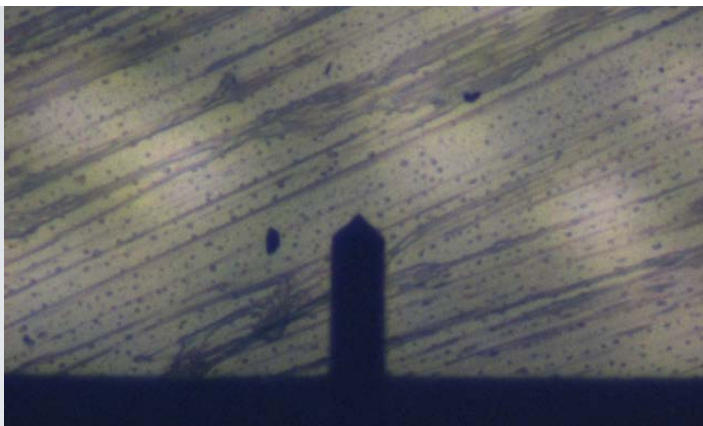
установлен в более чем 80 ВУЗах, и 320 школах в России и за рубежом.



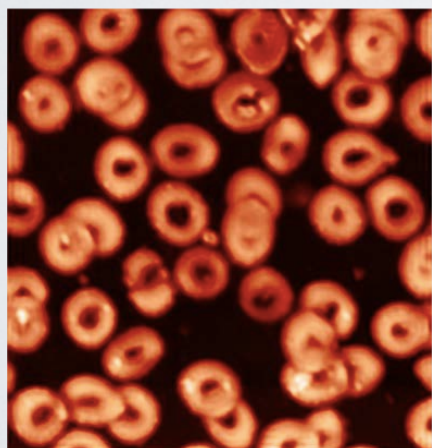
В настоящее время создан 3-й вариант этих приборов с мощным интеллектуальным наполнением на базе алгоритмов искусственного интеллекта, позволяющий сосредоточить внимание учащихся не на методике и приборе, а на предмете исследования исследования – биологических препаратах клеток, вирусов, молекул. На свойствах исследуемых материалов.



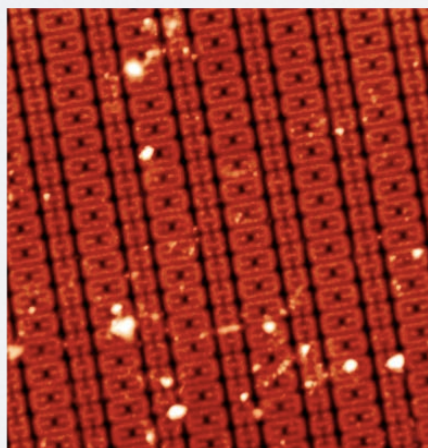
Солвер-НАНО – новая генерация НАНОЭДЬЮКАТОРА -Бюджетный сканирующий зондовый микроскоп с развитыми опциями туннельной и атомно-силовой микроскопии



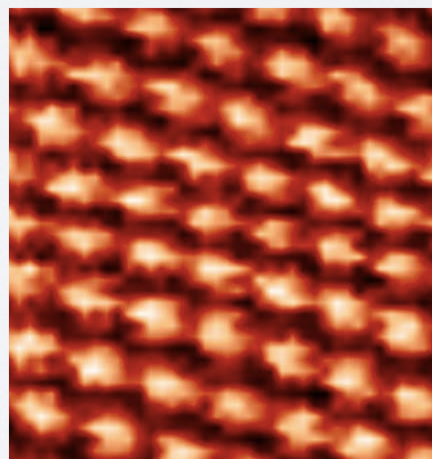
Оптика высокого разрешения (0,5 мкм).



Human erythrocytes, AFM
scan size 50×50 μm

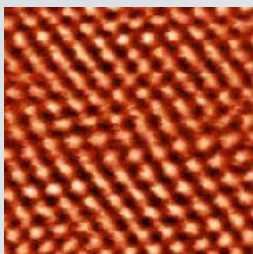


IC, AFM
scan size 30×30 μm

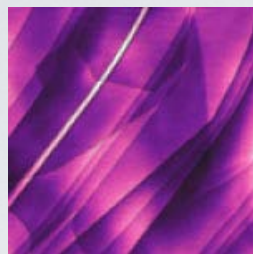


HOPG, atomic resolution, STM
scan size 2×2 nm

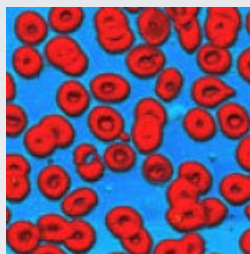




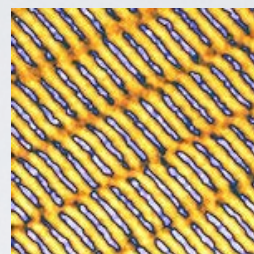
Атомная решетка
ВОПГ.
Размер скана 4×4
нм.
Контактная
латеральная АСМ



Атомные слои на
графите.
Размер скана
1.8×1.8 мкм.
АМ АСМ



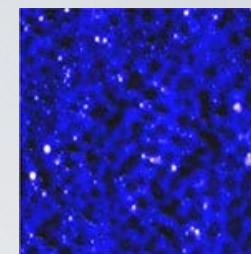
Клетки крови.
Размер скана
50×50 мкм.
АМ АСМ



Магнитные
домены НЖМД.
Размер скана
30×30 мкм.
АМ МСМ

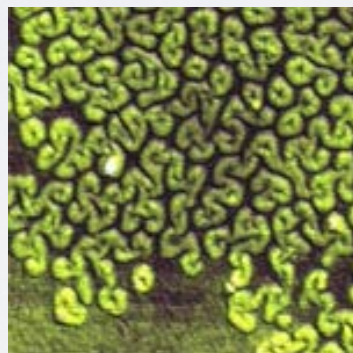


Серебряные
провода.
Размер скана
4×4 мкм.
АМ АСМ

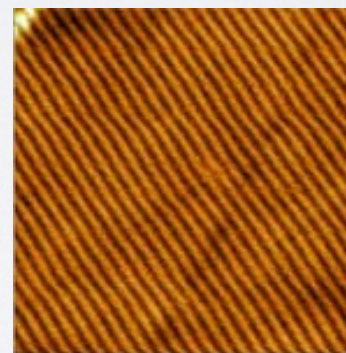


Смесь полистирен-
полиэтилена.
Размер скана 20×20
мкм.
HybriD метод АСМ

Получено на
приборах
СОЛВЕР-НАНО



Флуороалканы.
Размер скана 500×500 нм.
АМ АСМ

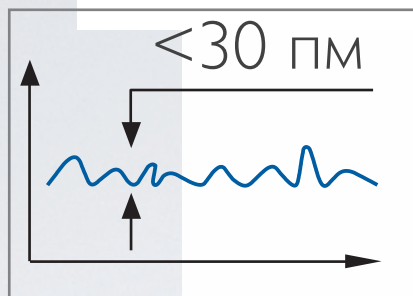


C60H122 на ВОПГ.
Размер скана 250×250 нм.
АМ АСМ



5x5 nm, HOPG

VEGA – АСМ для больших образцов.



8x8 мкм

diphenylalanine peptide

nanotubes

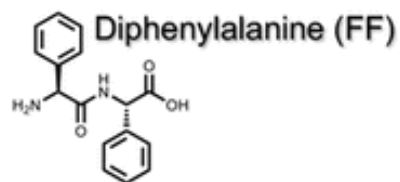
Пептидные нанотрубки

дифенилаланина, 8x8 мкм.

Распределение

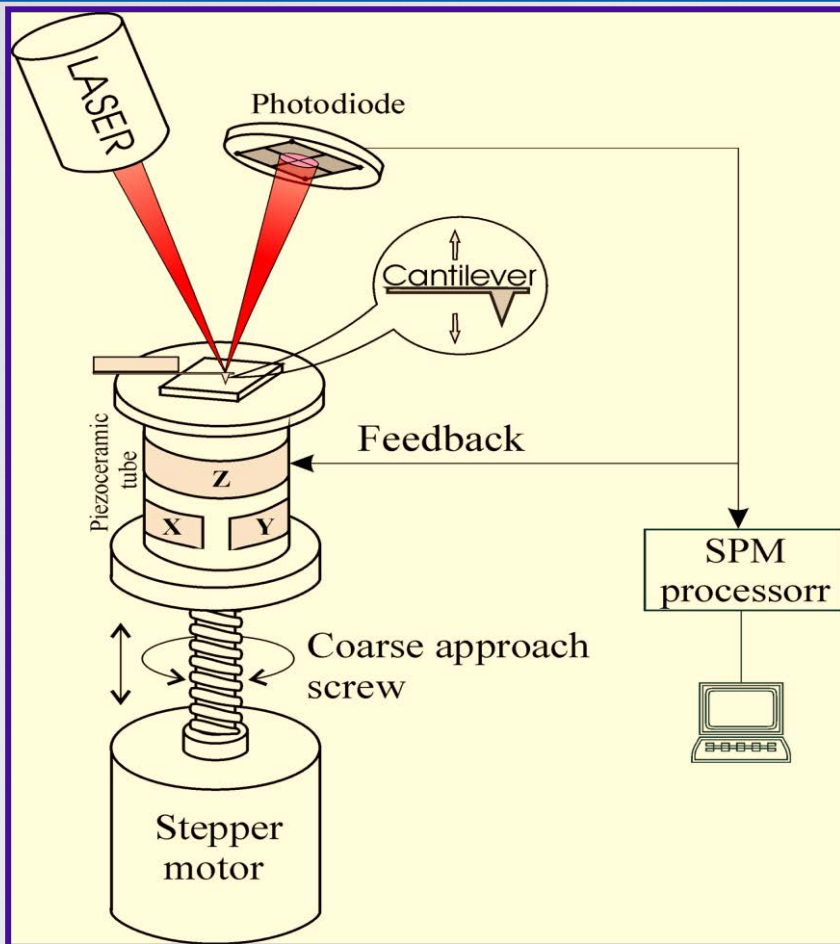
диэлектрической

проницаемости

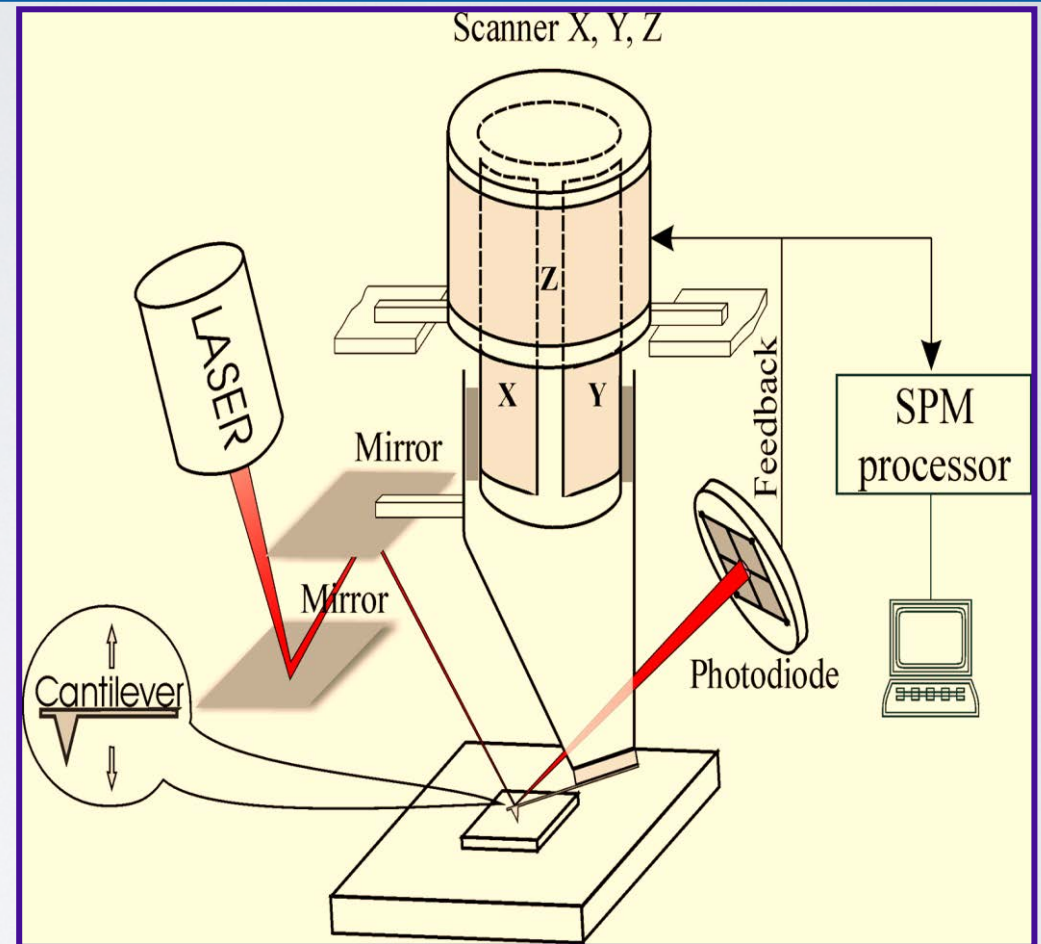


Специально разработанная оптическая
схема обладает самым низким
значения уровня спектральной
плотности шума (25 фм/ $\sqrt{\text{Гц}}$) датчика
оптической системы регистрации

ATOMIC FORCE MICROSCOPY



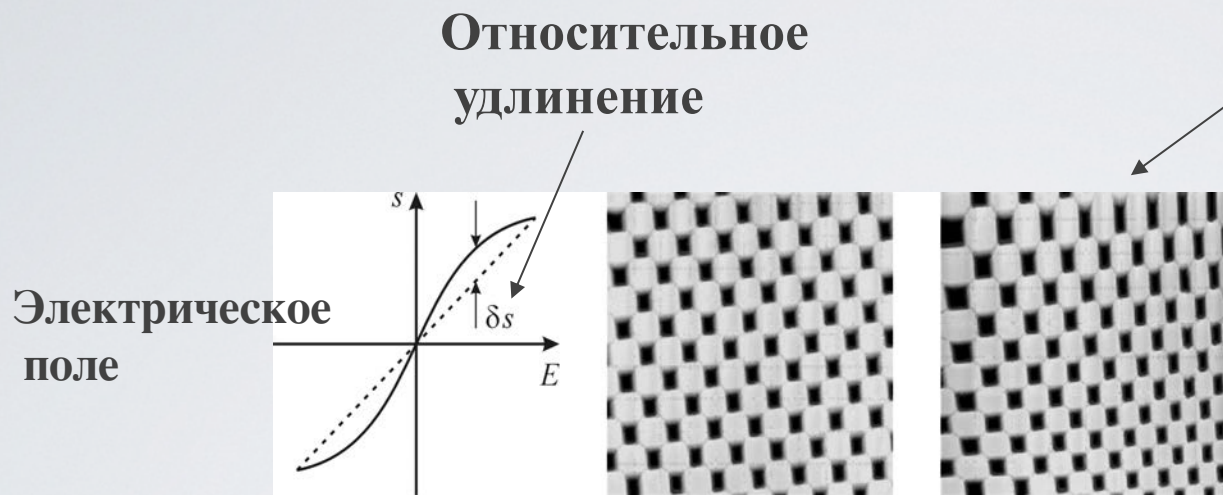
Scanning by sample



Scanning by probe

Piezoceramic elements for sub nanometer displacements,
but CREEP and HISTERESIS!!!

Собственная нелинейность сканера

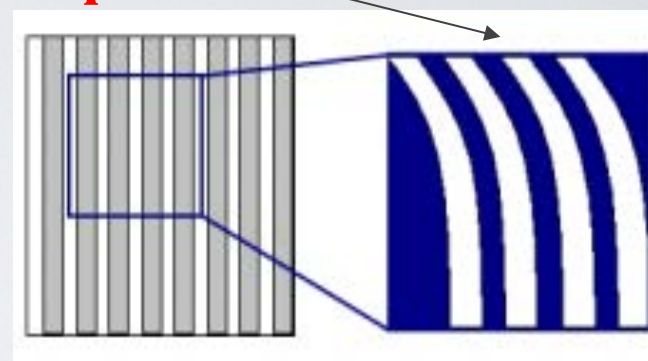


В плоскости XU собственная нелинейность проявляется в неравномерности шага сканирования. В Z направлении собственная нелинейность будет приводить к погрешностям при измерении высоты микрорельефа поверхности.

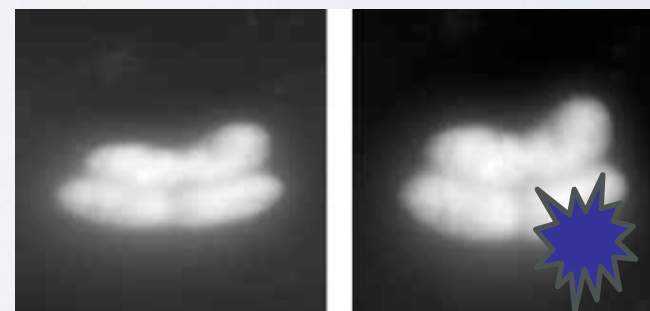
**Термический дрейф
компонентов АСМ**

ИСКАЖЕНИЯ

Крип



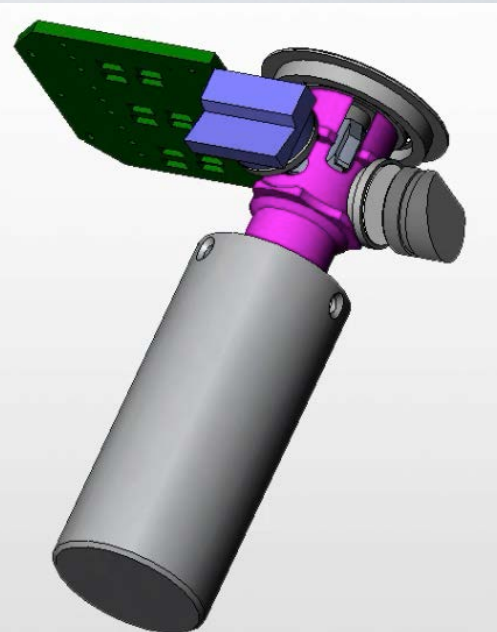
В плоскости XU крип проявляется при перемещении или масштабировании области сканирования.



<http://afmhelp.com/>

**Искажение АСМ-изображения
бактерии из-за дрейфа**

DECISION – 3D High accuracy capacitance sensors !!!



Сканирование образцом

Сканирование зондом

Нелинейность, XY (с датчиками обратной связи)		$\leq 0.1\%$	$\leq 0.15\%$
Уровень шума, Z (СКВ в полосе 1000 Гц)	С датчиками	0.04 нм (типично), 0.06 нм	0.06 нм (типично), 0.07 нм
	Без датчиков	0.03 нм	0.05 нм

Closed-loop control as used for nanolithography, scan size 1.9x1.9 μm

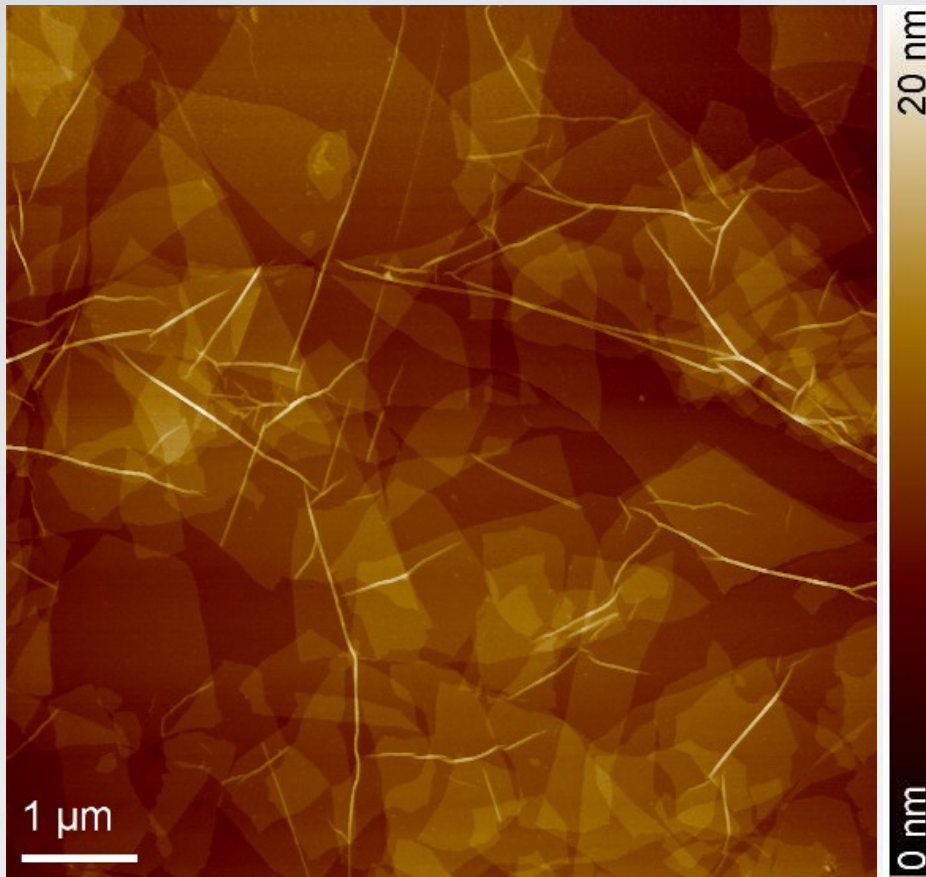


Closed-loop operation off



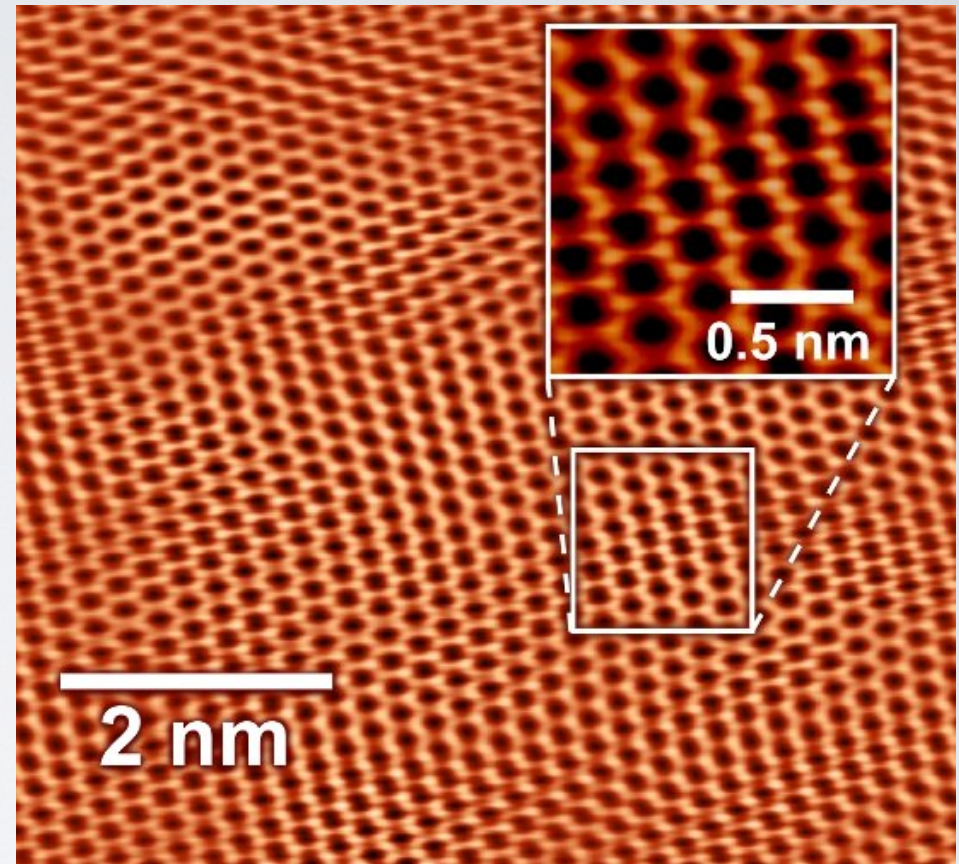
Closed-loop operation on

High resolution AFM and STM of graphite structures



The high-resolution AFM image showing an assembly of single-layer, functionalized Graphene sheets.

Some of the sheets are many square micrometers large. The thickness of each sheet is less than 1 nm.

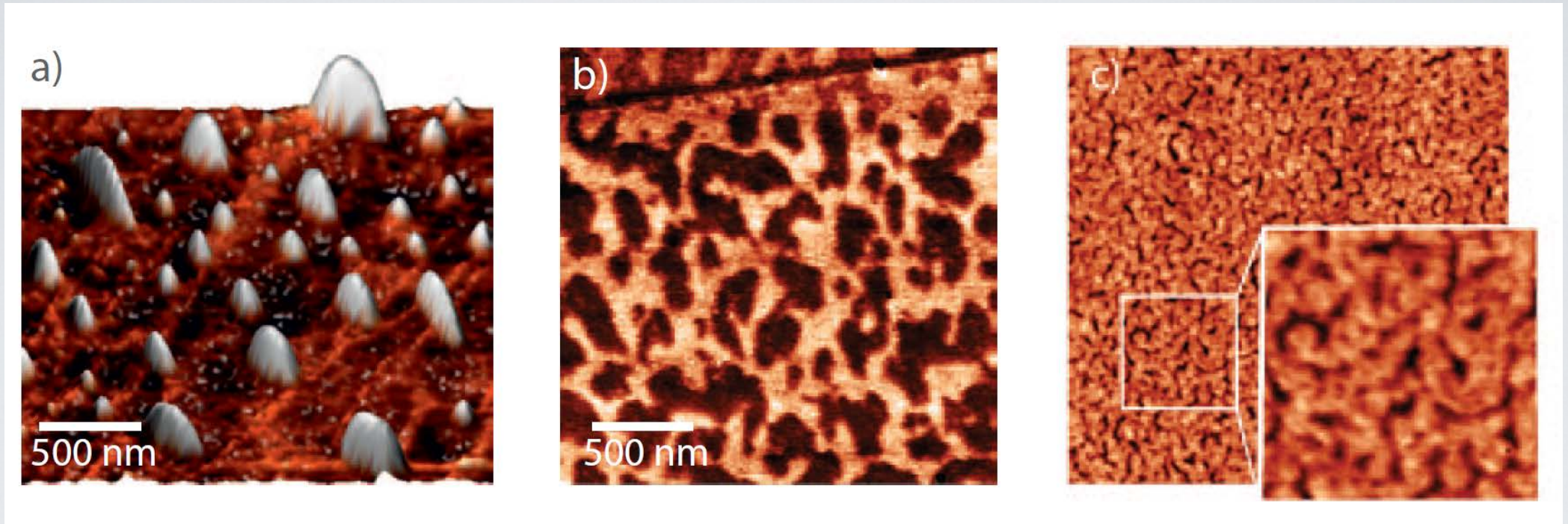


Atomic resolution STM image of graphite (HOPG)

*Image courtesy:
Dr. Hannes Schniepp (The College of William & Mary, USA)*

Graphene in different atmospheric conditions

AFM topography



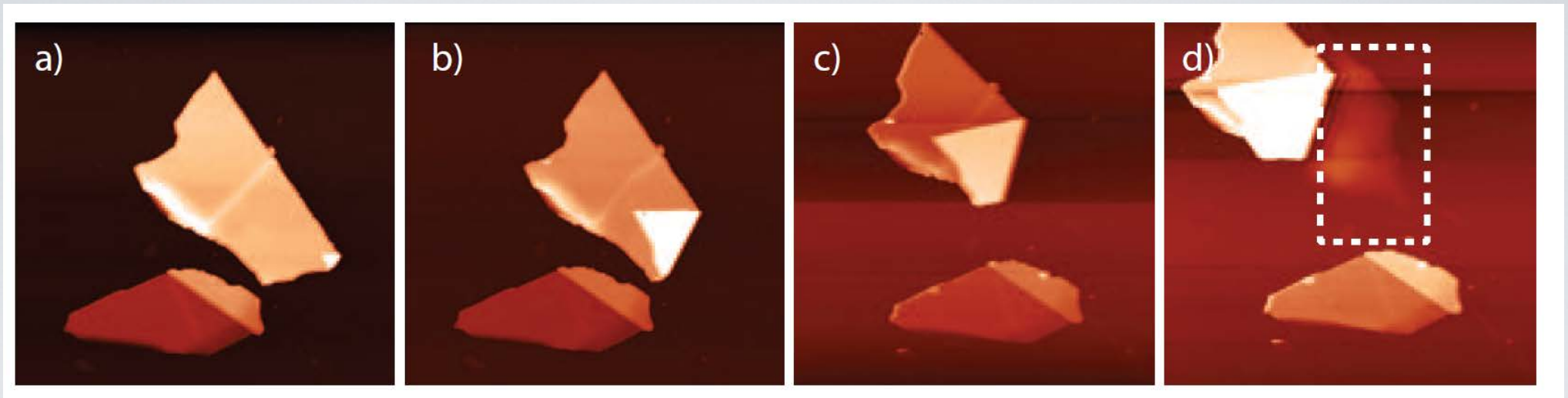
In ambient
conditions

After heating
above 100 °C

In toluene
vapour

D. W. Horsell, P. J. Hale and A. K. Savchenko, *Microscopy and Analysis* 25(1), 15 (2011),

Nanomanipulation of graphene flake by AFM

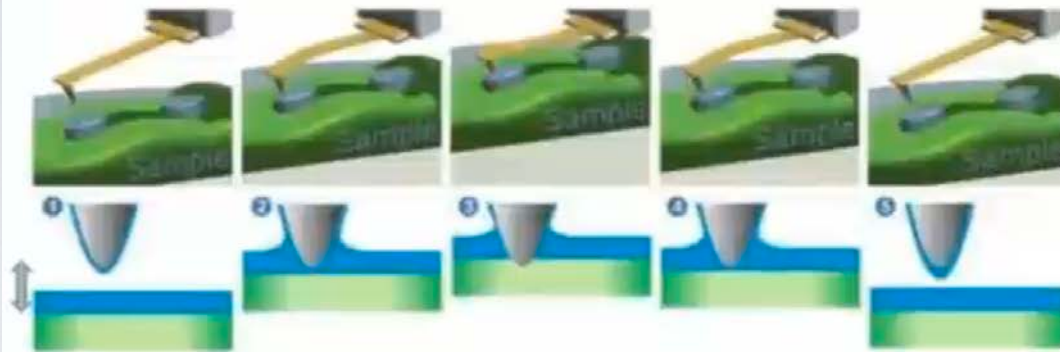


Successive steps in multilayer graphene folding

Graphene (multilayer) folded in successive steps (image 3, scans a-d) by an AFM cantilever. The graphene is attached to a silica / silicon substrate. The degenerately doped silicon is separated from the graphene by 300 nm silica. Between each fold, 10 V is applied between the silicon and the tip held at the centre of the graphene crystal. After folding, a 'ghost' of the graphene is left behind (see white highlighted region in scan (d)). This is from charge built up in the silica from the applied voltage: charge from the tip is dispersed across the conductive graphene crystal then charges impurities in the silica. Even in ambient conditions, this effect lasts for several hours.

D.W. Horsell, P.J. Hale and A. K. Savchenko, *Microscopy and Analysis* 25(1), 15 (2011),

Basics of the Hybrid Mode



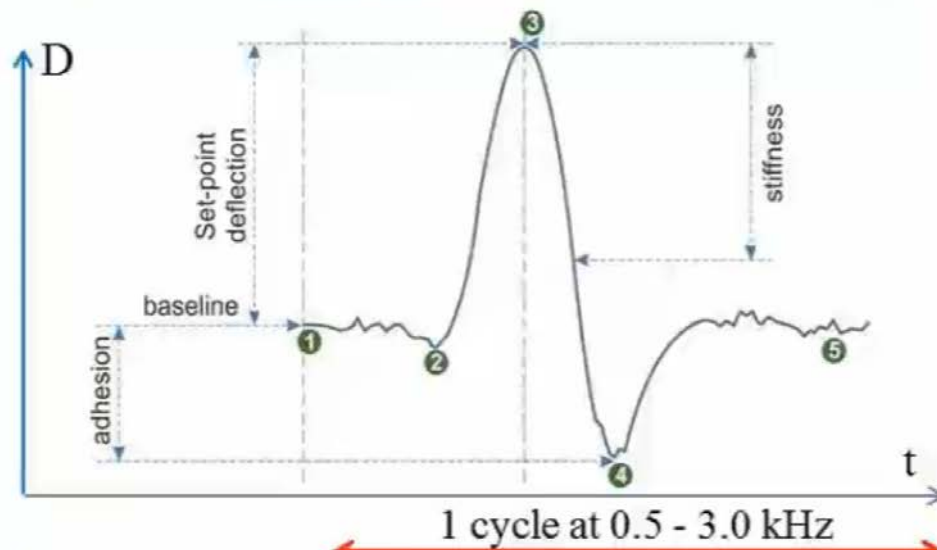
Predecessors

H. Becker, et al "Stylus profiler featuring an oscillating probe" US Patent 2728222, 1955.

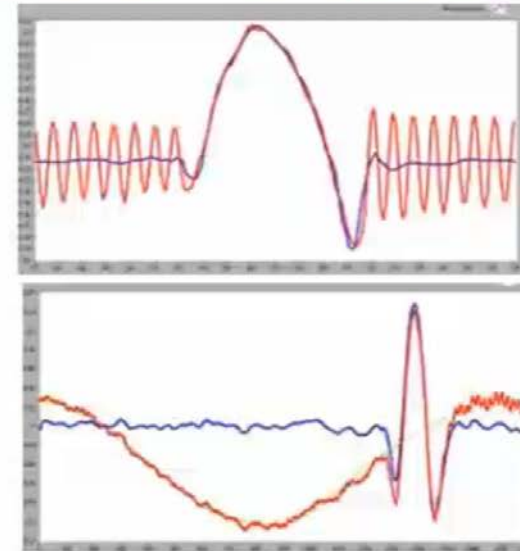
V. Elings, & J. Gurley "Jumping probe microscope" US Patent 5,229,606, 1993.

Pulsed Force (Witec), Jumping Mode (NanoTech), Peak Force (Bruker), Anasys

Temporal Deflection Plot – The Bank of the Local Properties!

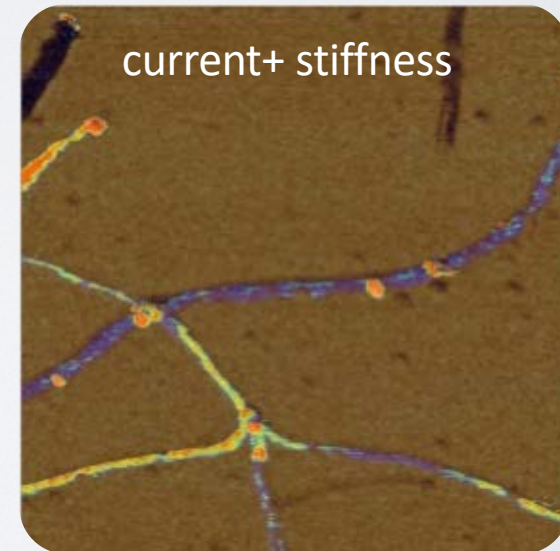
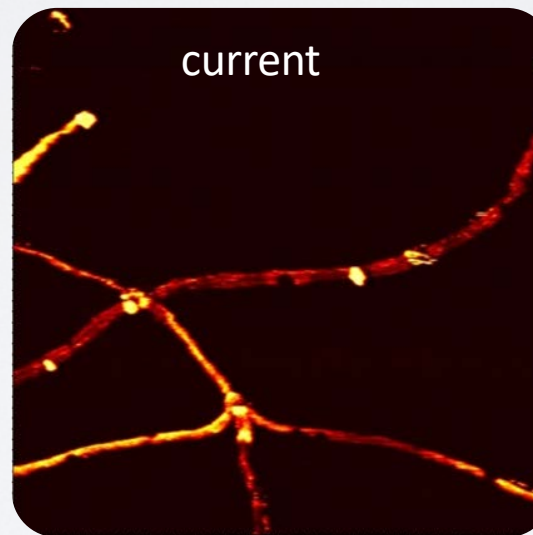
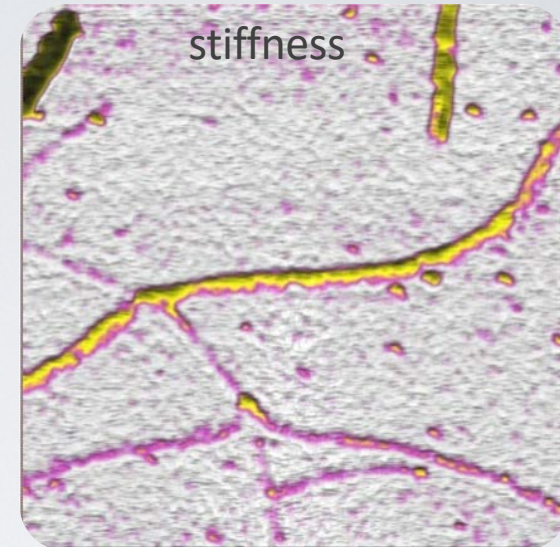
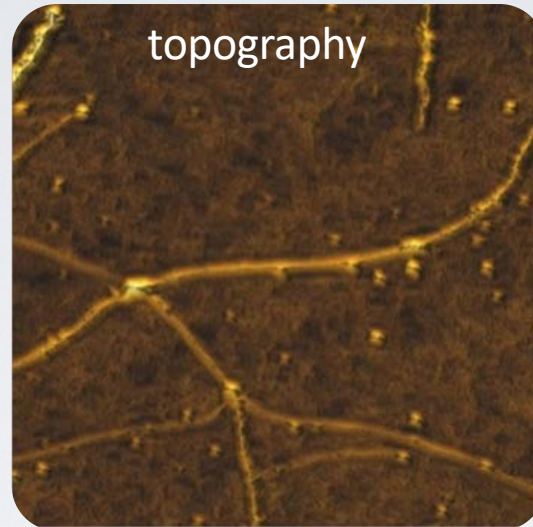
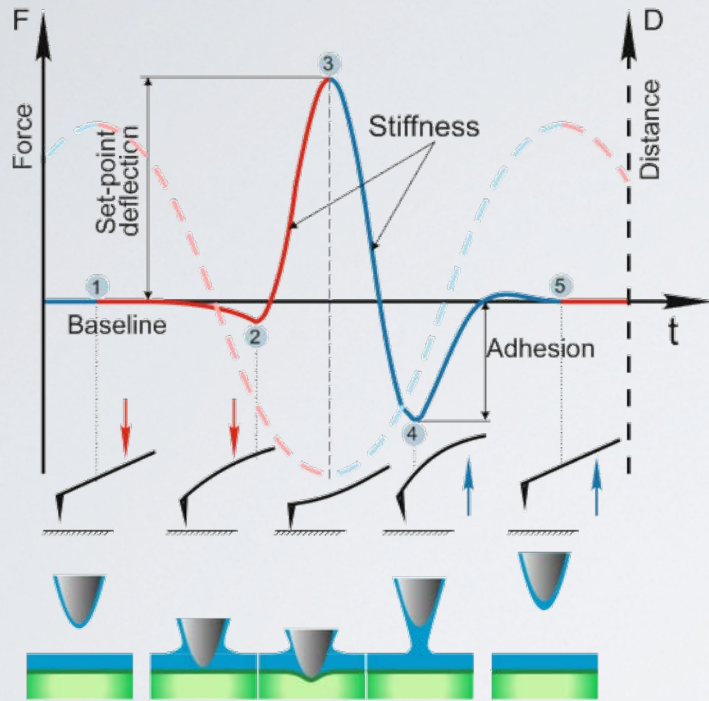


Real-time Wavelet Filtering



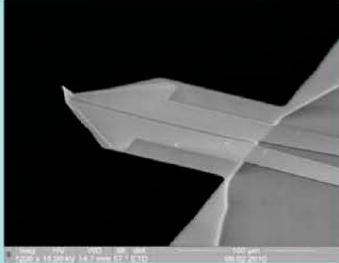
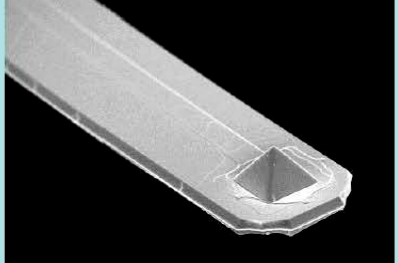
Hybrid Mode: loose CNT conductivity

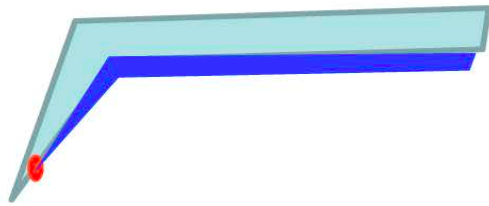
Hybrid Mode



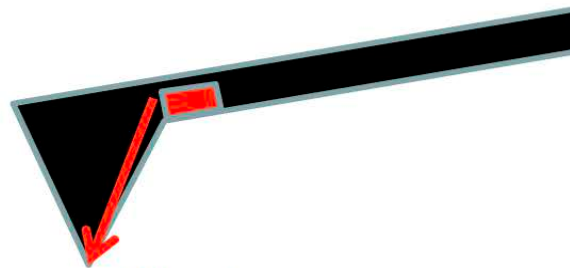
1x1um
Complex study of
"loose" carbon
nanotubes on SiO₂

Cantilevers for thermoconductivity measurements

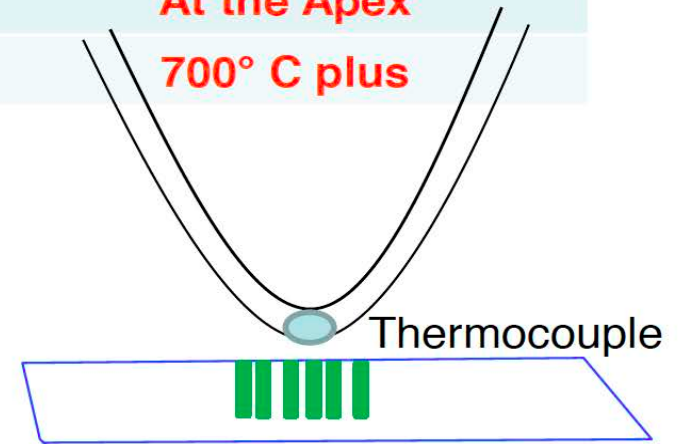
SThM Probes		
	Conventional Technology	APPNANO
Tip ROC (nm)	100 nm	> 50nm
Lateral Thermal Resolution	100 nm	up to 20nm
Thermal Sensor	Thermistor	Thermocouple
Location	Near the Apex	At the Apex
Maximum Temperature	160° C	700° C plus



Thermistor

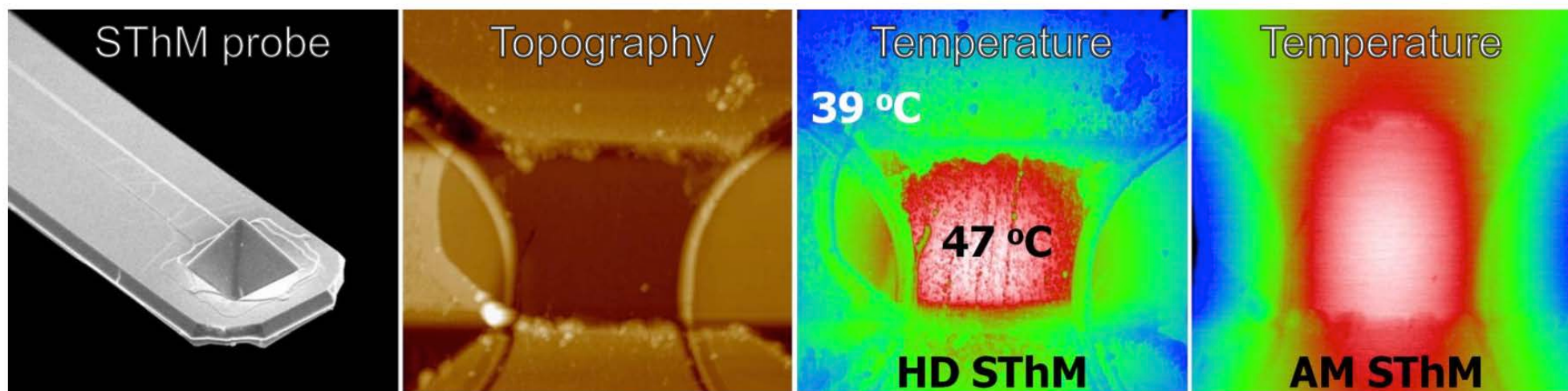


Heater

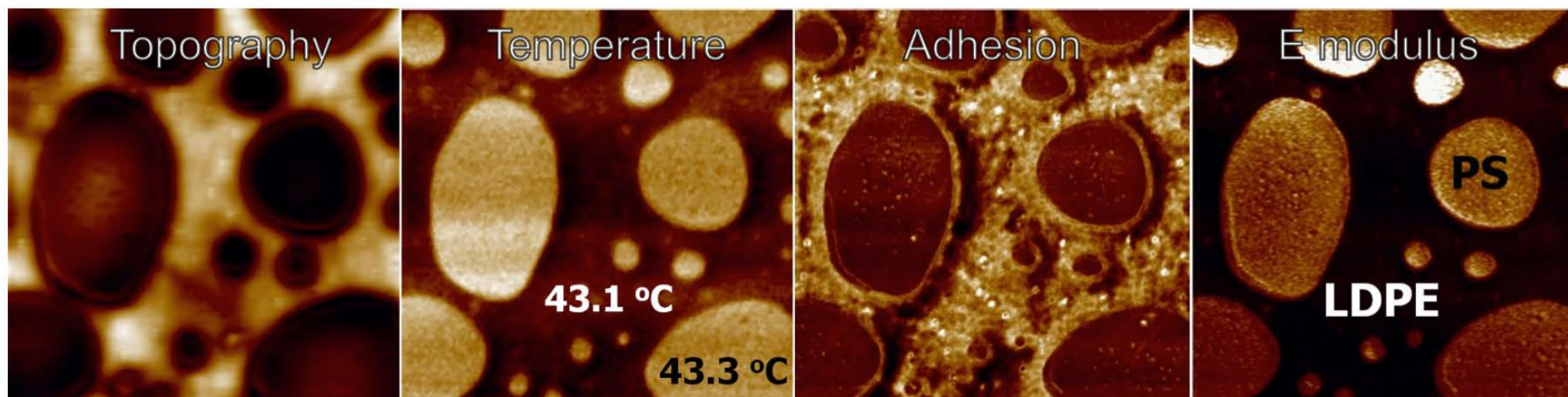


Thermocouple

HD Scanning Thermal Microscopy (HD SThM) allows studying local thermal properties – temperature and thermal conductivity – simultaneously with QNM measurements.

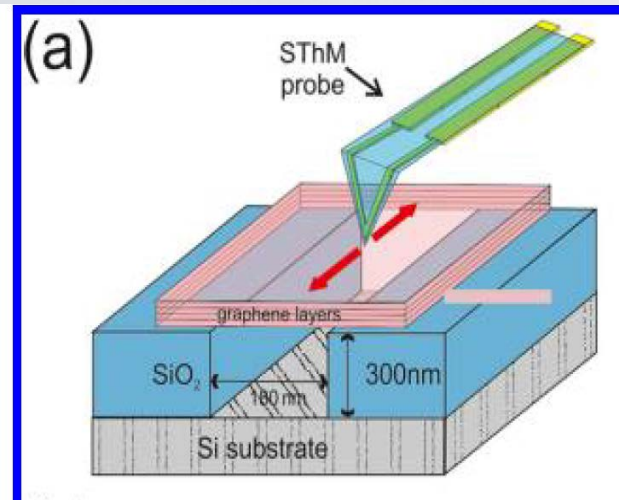


SEM image of AppNano VertiSense™ thermocouple probe and comparison of HD SThM and AM SThM techniques. Scan size: 17×17 μm.

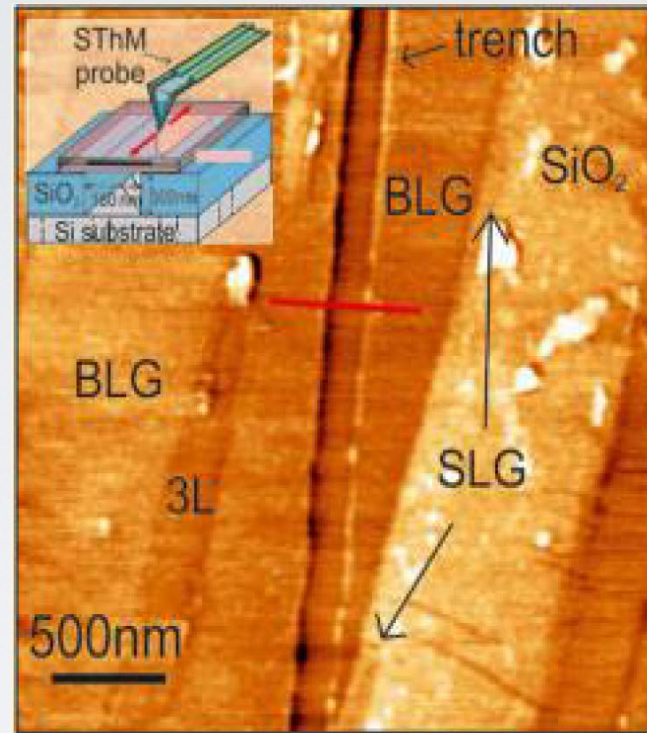


HD SThM study of PS-LDPE. Scan size: 10×10 μm.

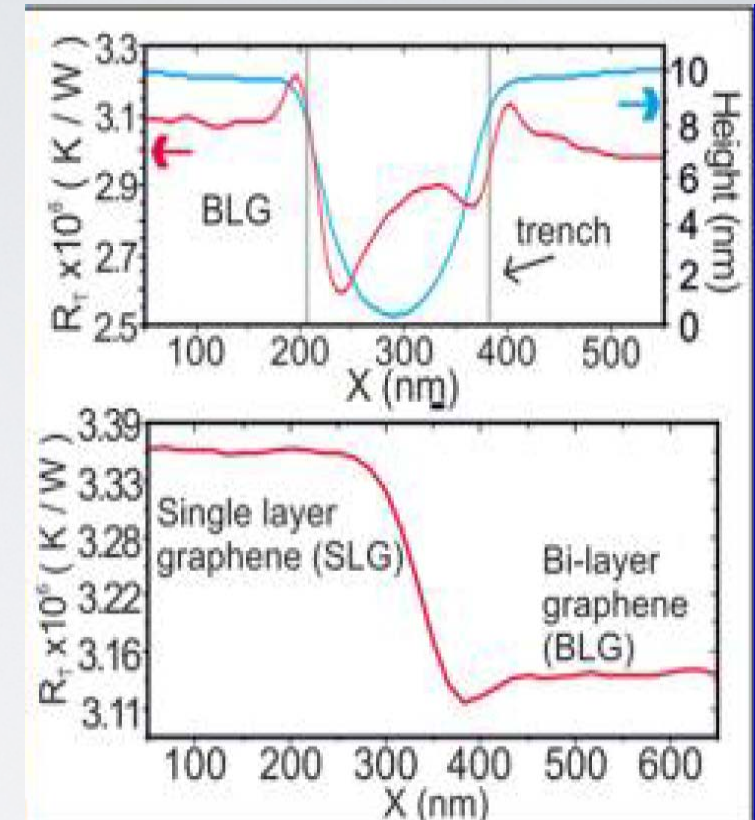
Thermal conductivity measurements of supported and suspended graphene single- and multilayers



Special SThM tip works as local heater and temperature sensor



Thermal conductivity map (sensor tip temperature)



Thermal resistance profiles: supported and suspended bilayer graphene, supported bi- and single layer graphene.

Direct Nanoscale Imaging of Ballistic and Diffusive Thermal Transport in Graphene Nanostructures

Manuel E. Pumarol,[†] Mark C. Rosamond,[‡] Peter Tovee,[†] Michael C. Petty,[‡] Dagou A. Zeze,[‡] Vladimir Falko,[†] and Oleg V. Kolosov^{†,*}

[†]Physics Department, Lancaster University, Lancaster, LA1 4YB, United Kingdom

[‡]School of Engineering and Computing Sciences, Durham University, Durham DH1 3LE, United Kingdom

**But to use it correctly to have perfect results it need
you need to optimize at least 4 parameters:**

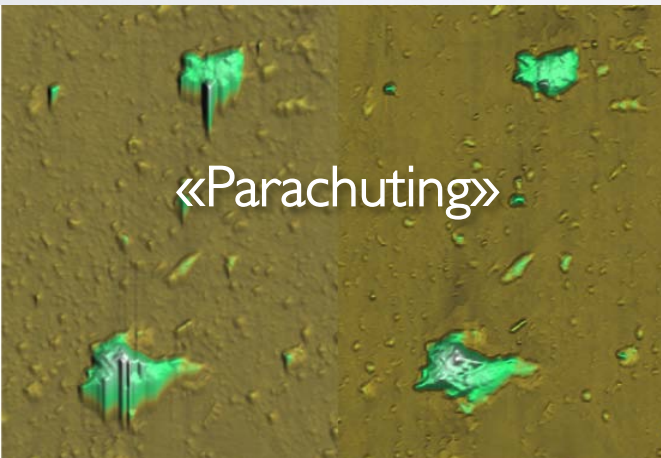
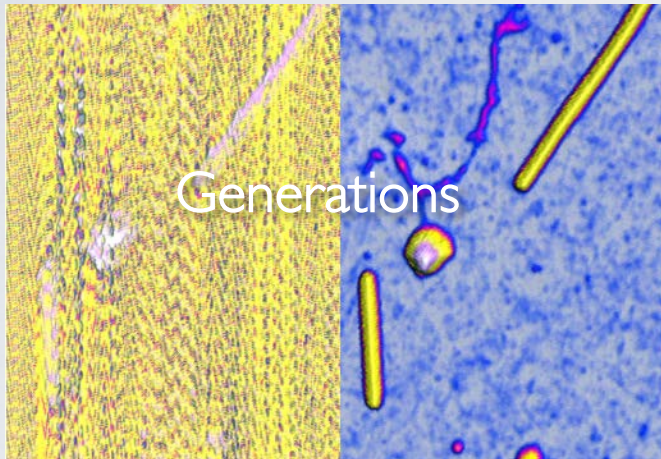
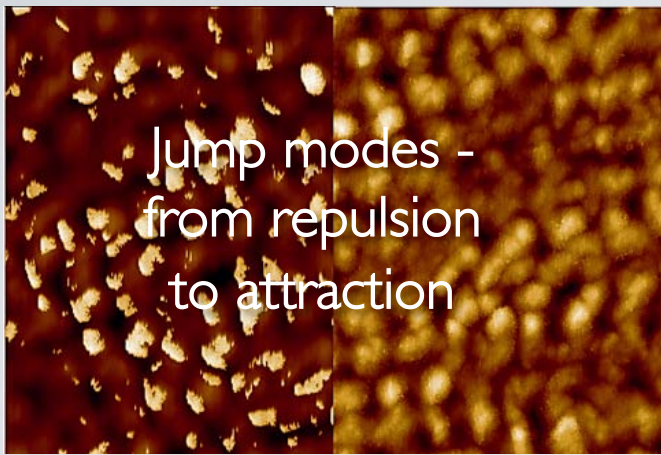
- **Amplitude of probe oscillation (A_0);**
- **Feedback set point (SP);**
- **Integral feedback coefficient (k_i)**
- **Speed of scanning (V_x) ;**

And 2 additional parameters:

- LP – Low Pass filter band;
- k_p – proportional feedback gain

ScanTronic™ -

Artificial Intelligence to AFM



Straightforward for beginners

Helpful for experts

Selection of initial parameters for optimization

Initial Information

Scan procedure is over. Please, select the sample features and save adjuster's parameters

Sample features:

- Roughness: Mid
- Stiffness: Low
- Stickiness: High
- Static charge: Semiconductor

Comments: tgz1

Save XML Save Excel Manual

Save Excel

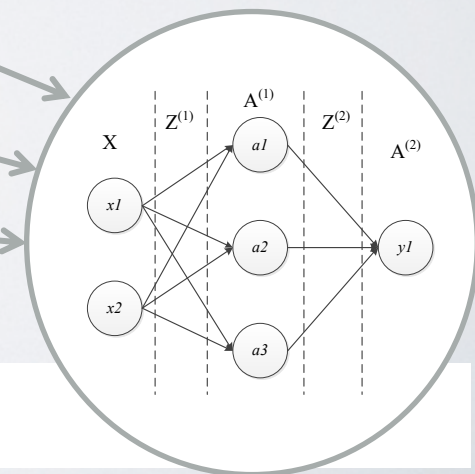
Save Cancel

```
<Inputs>
- <Probe>
  <ID>NSG10<
  <Resonance>
  <Quality>40<
  <Stiffness>1<
</Probe>
- <Sample_feature>
  <Unity>um<
  <X_size>4<
  <X_points>
  <Y_size>4<
  <Y_points>
  <Roughness>
  <Stiffness>
  <Stickiness>
  <Static charge>
  </Sample_feature>
</Inputs>
<Argument>
5.0</Argument>
5.0</LimMax>
0</LimMin>
</Step>
0</Default>
t>0.0</StartDefault>
0.0</StartForw>
0.8</Argument>
</LimMax>
</LimMin>
Step>
</Default>
0.0</StartDefault>
0</StartForw>
8112502</Range_Heigh
931776705</MaxAngle_Heigh
7082</r_Height>
312541</Angle_Heigh
312594181</Rough_Heigh
3913</R2_Mag
5</perc_Phase
perc_h_Mag>
186785367</RMS_Heigh
5</perc_L_Mag>
364</Range_Heigh
83565</MaxAngle_Heigh
945258</r_Height>
1033428</Angle_Heigh
72</R2_Mag>
h_Phase>
4797277</RMS_Heigh
0</perc_L_Mag>
```

Training

Training Based on the backpropagation method using the BFGS algorithm (Broyden-Fletcher-Goldfarb-Shanno)

The search for the minimum of the objective function is performed, which makes it possible to adjust the optimal synapse weights way

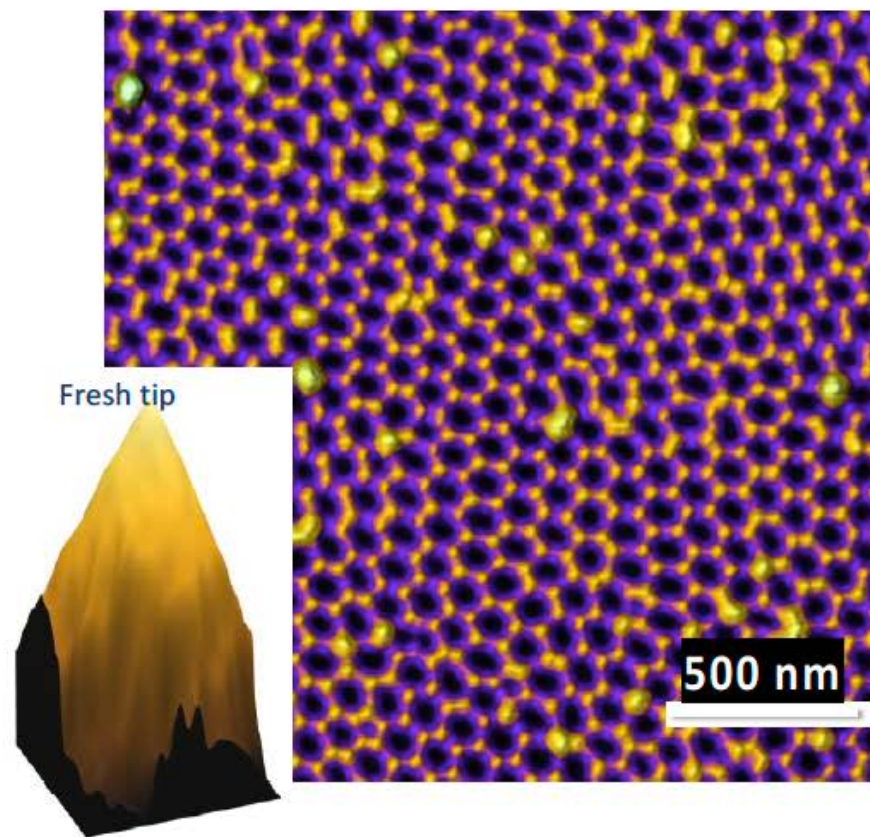


Факторы и параметры, влияющие на выбор зонда и параметров сканирования

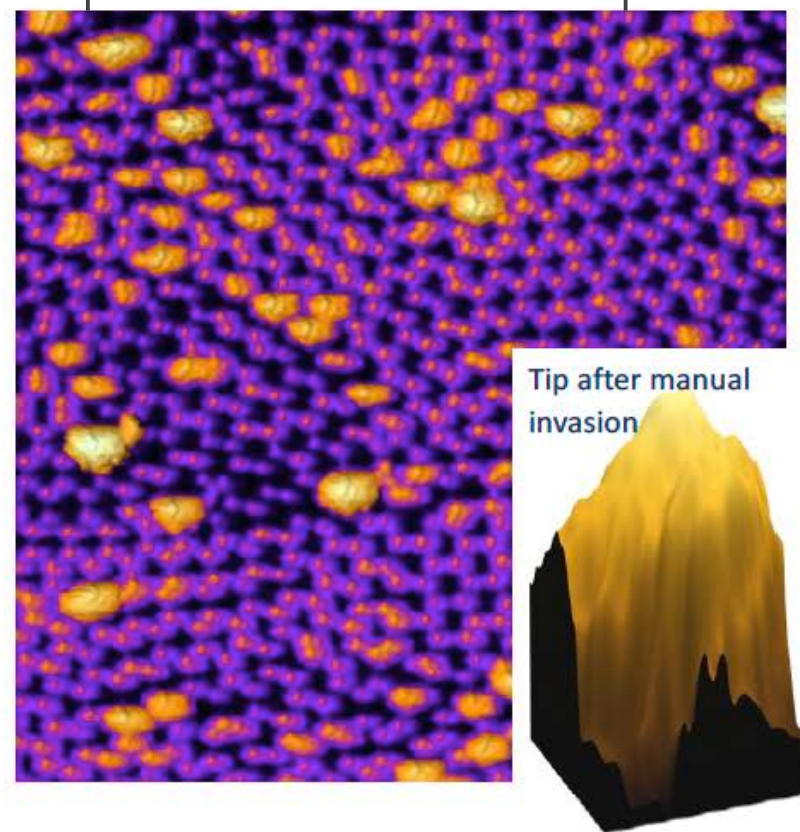


Scan Tronic: Examples of application

AI – ScanTronic!!!

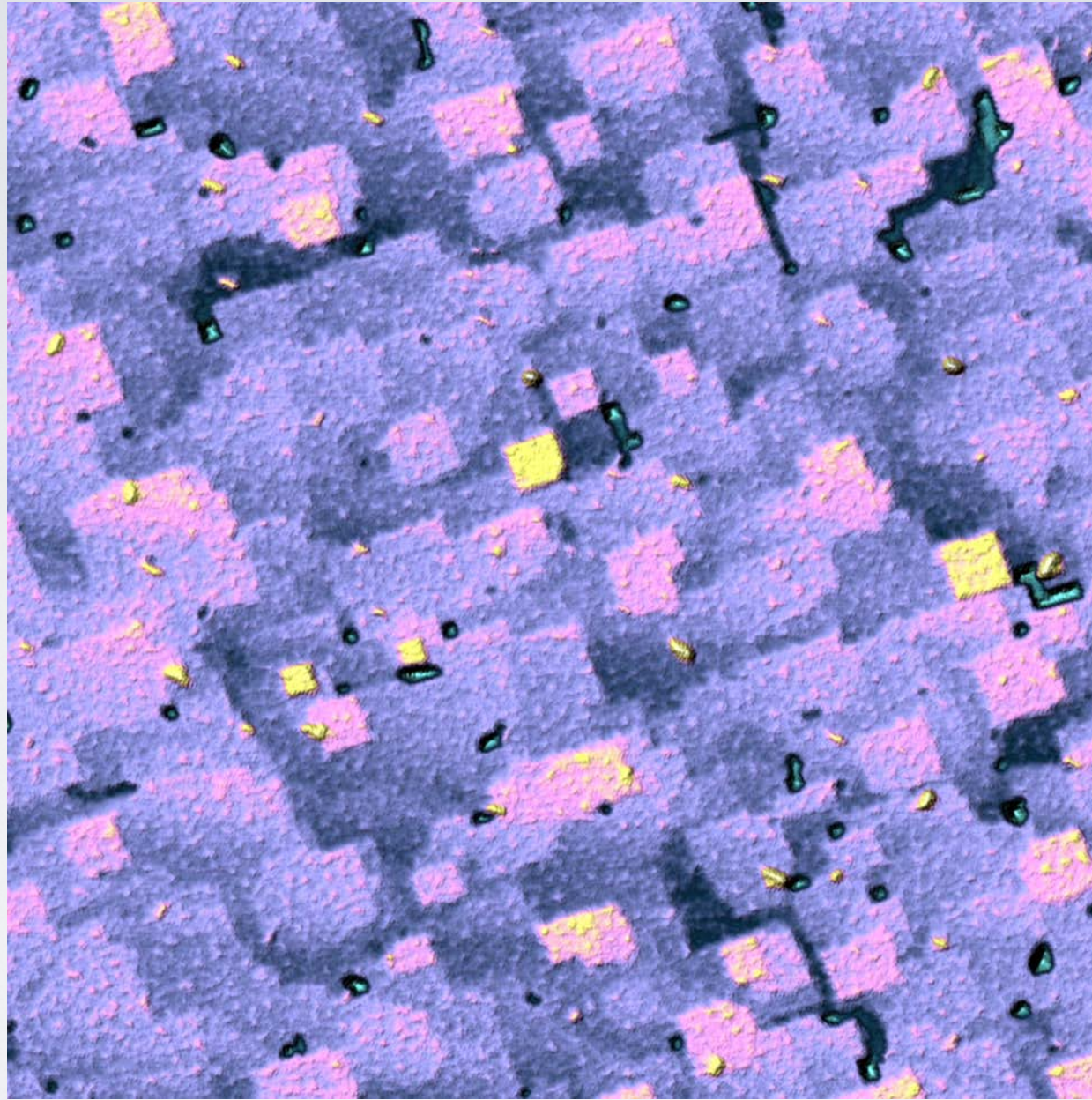


Experienced AFM specialist

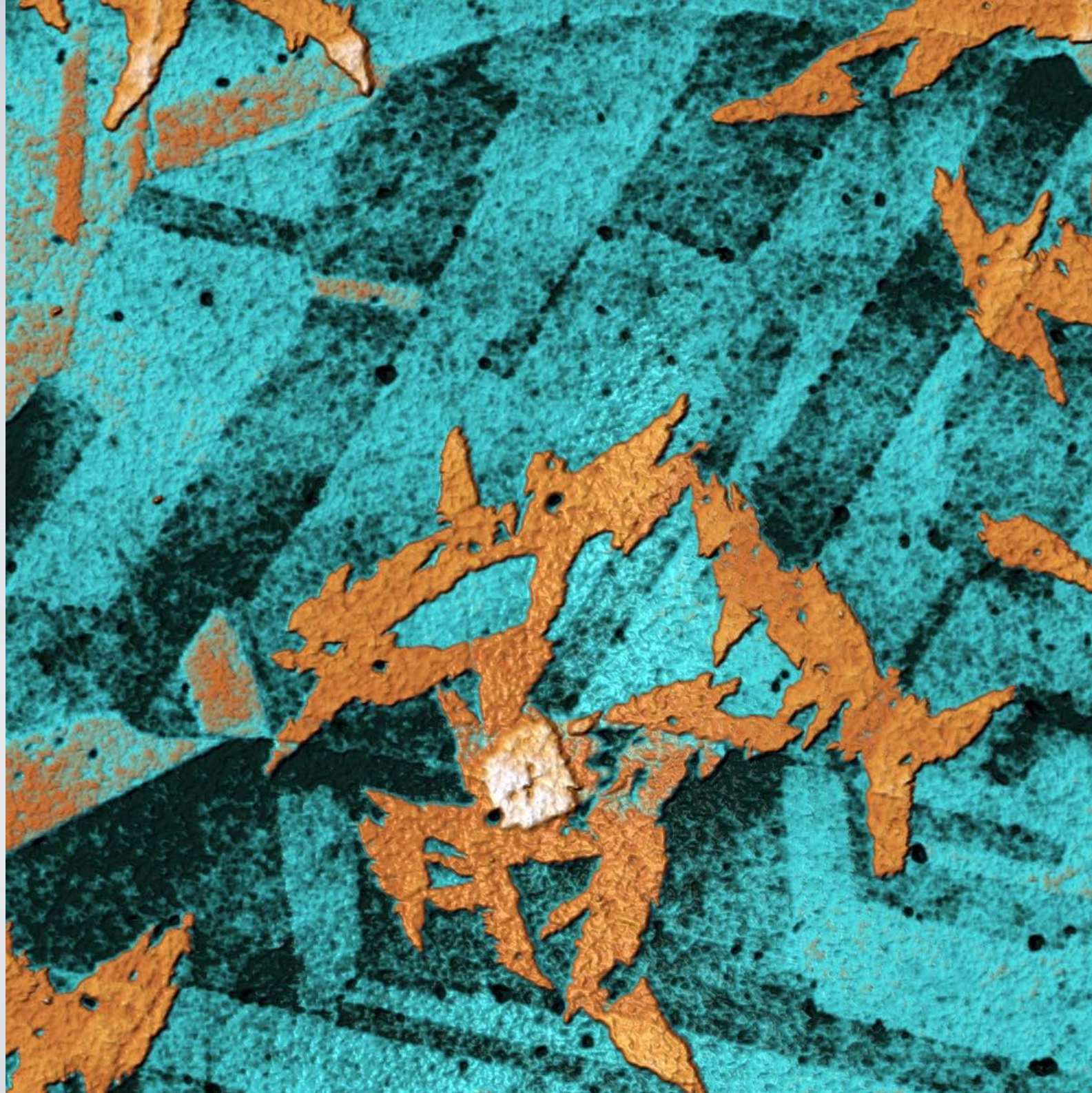


Al₂O₃ - "Grater" sample for tips.
Left – topography, ScanTronic used, right – manual attempt to adjust scanning parameters

AI – ScanTronic!!!



Si₃N₄, 2x2 mkm

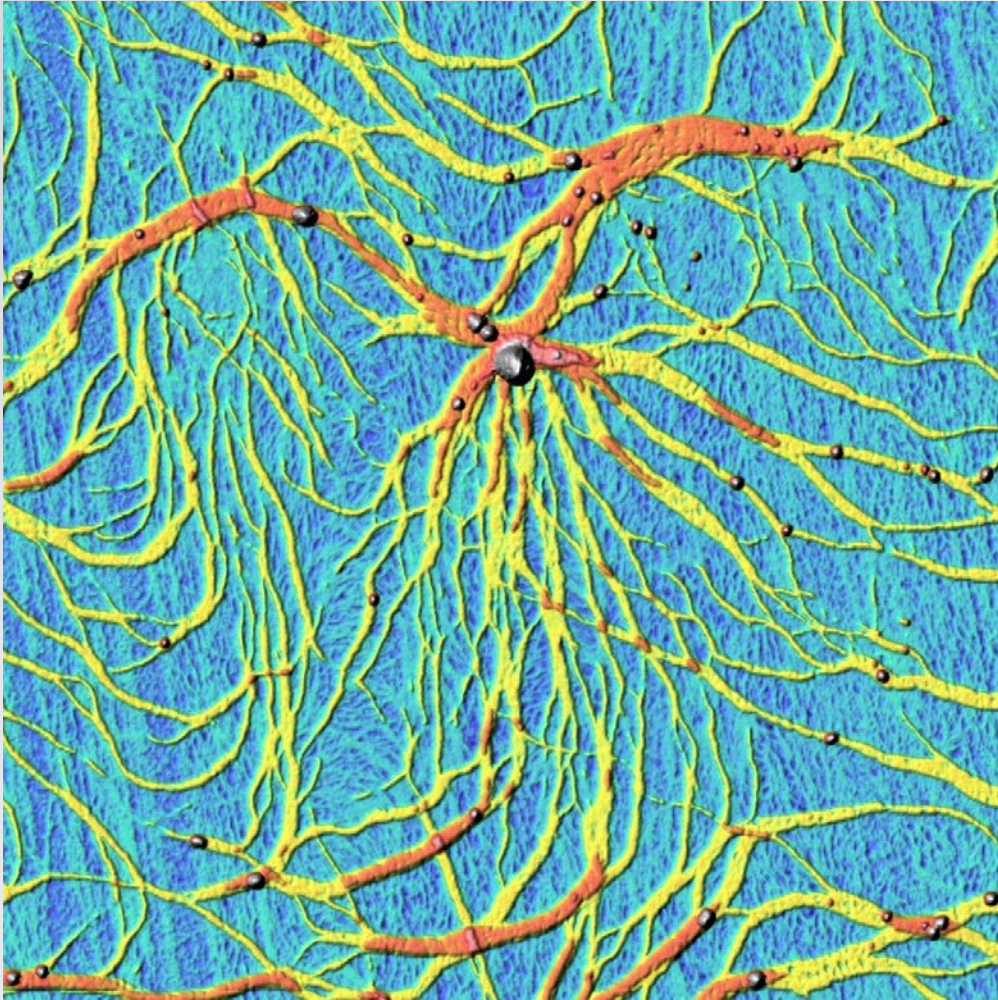


AI – ScanTronic!!

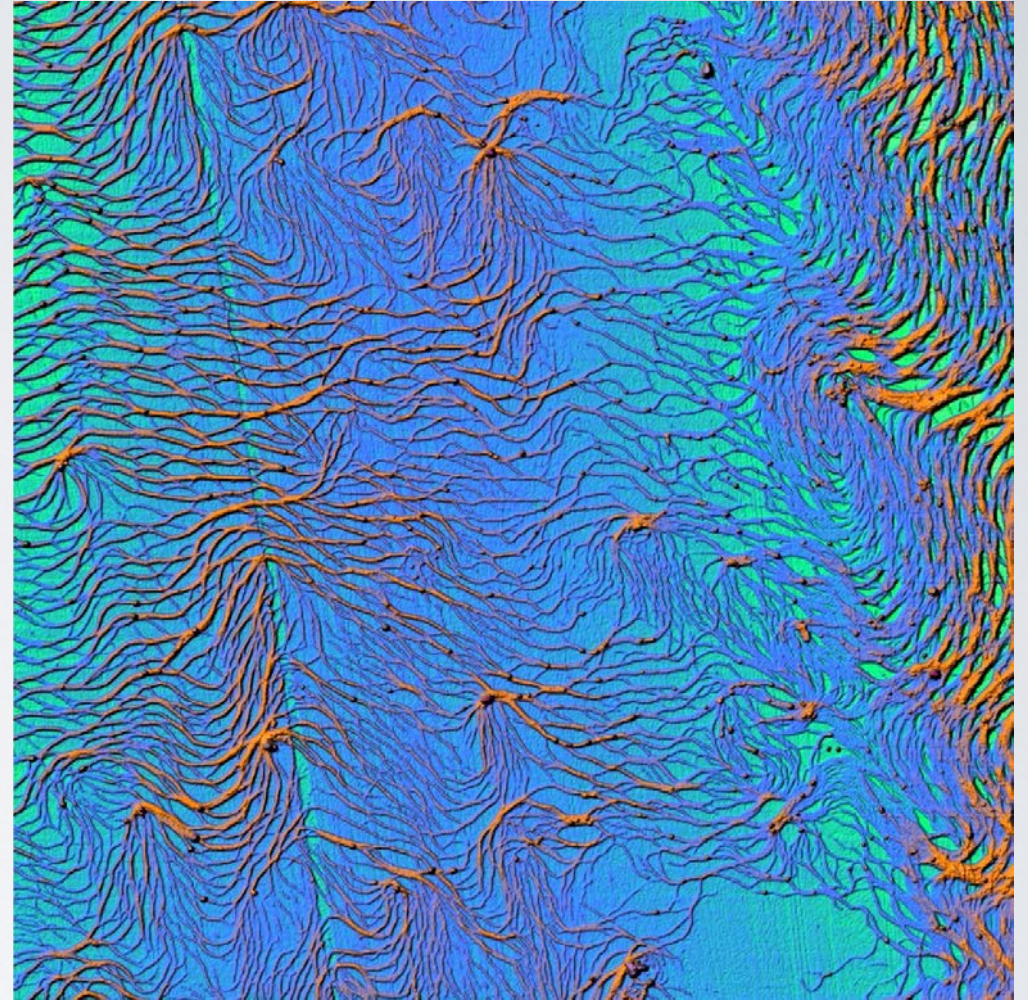
Cu/CuO,
5x5 mkm

Topography in
fashion in semi-
contact mode in
ScanTronic mode

AI – ScanTronic!!!



4x4 mkm

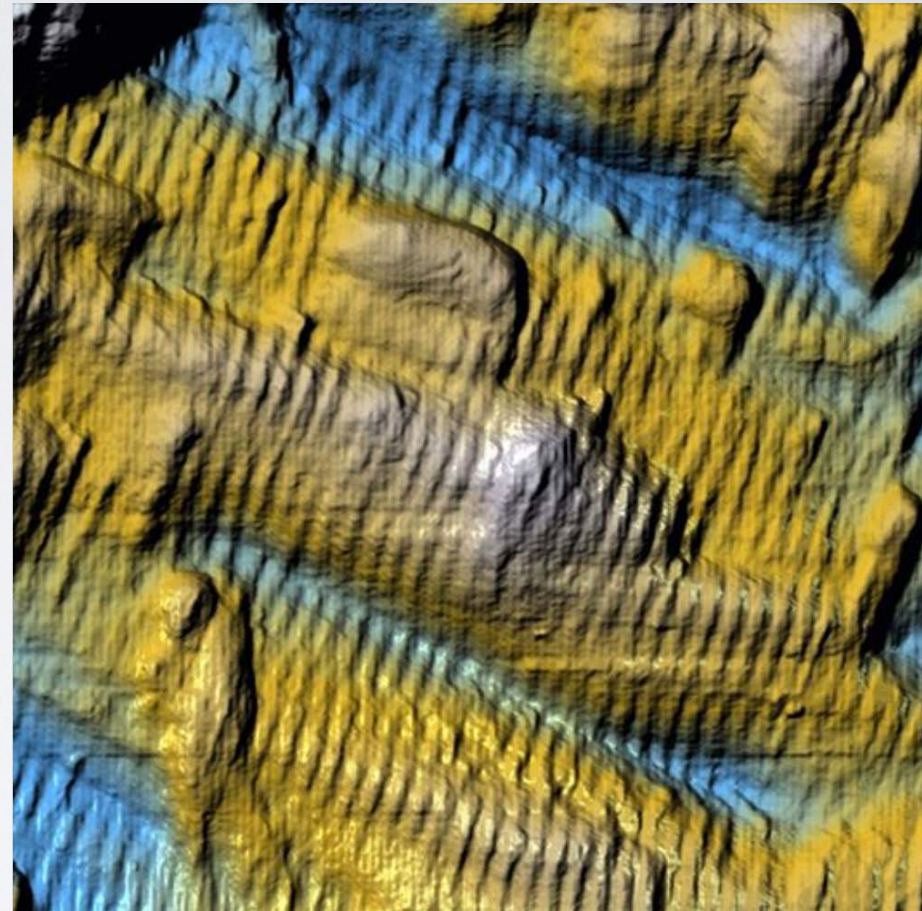


15x15 mkm

Cubic red dye on mica,
Topography in fashion in semi-contact mode in ScanTronic mode



5x5x1,7 um



2x2x0,3 um

Collagen is the main building material for connective tissues. On these images you can see the bunch of rabbit collagen fibers. On right image we can clearly see the periodic structure of these nano-rope. Period size is ~ 50 nm. Image was done in liquid conditions by means of HybriD Mode. Image by Craig Wall, NT-MDT America

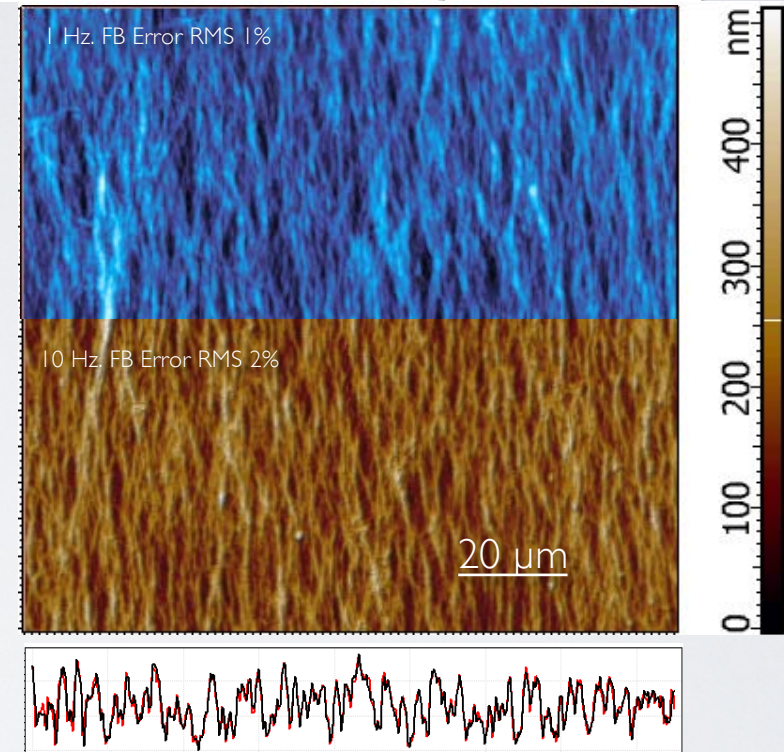
Fast Scan

2018

Fastest Scanner.

Max Scan Size XY/Z, μm : $90 \times 90 \times 4 \pm 10\%$

Line speed: 2 mm/sec



AFM image of collagen fibers.

1024x1024

Scan size $90 * 90 * 0,5 \mu\text{m}$

NTEGRA Spectra in Upright, Inverted and Side illumination configuration

Light input from side (with scanning mirror)

Top optics (LED illuminator & camera)

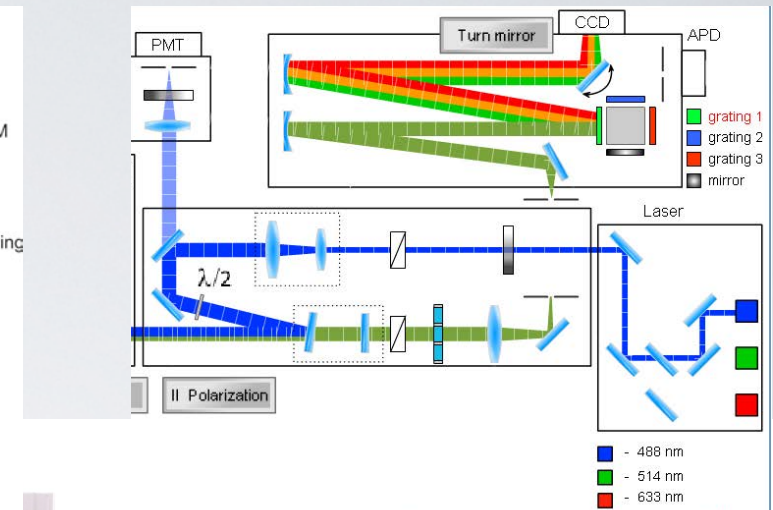
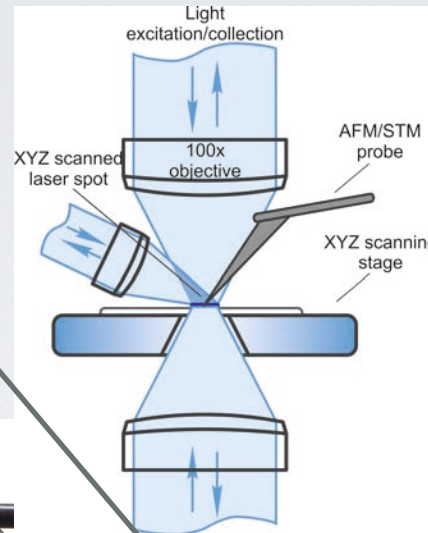
Light input from top (with scanning mirror)

Optical AFM (AFM probe + 100x objective on the top)

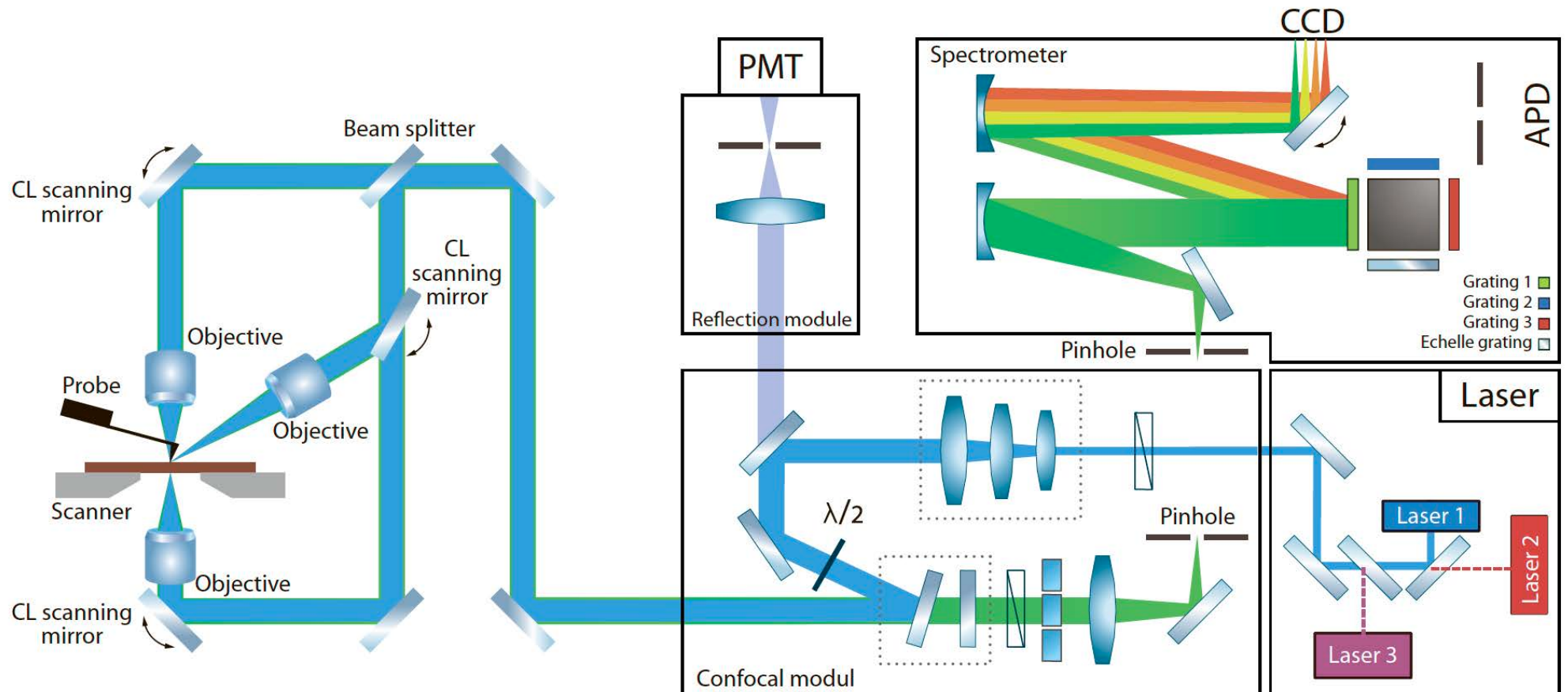
XYZ sample stage (bottom illumination objective inside)

Light input from bottom (with scanning mirror)

Bottom optics (LED illuminator & camera)



Принцип работы

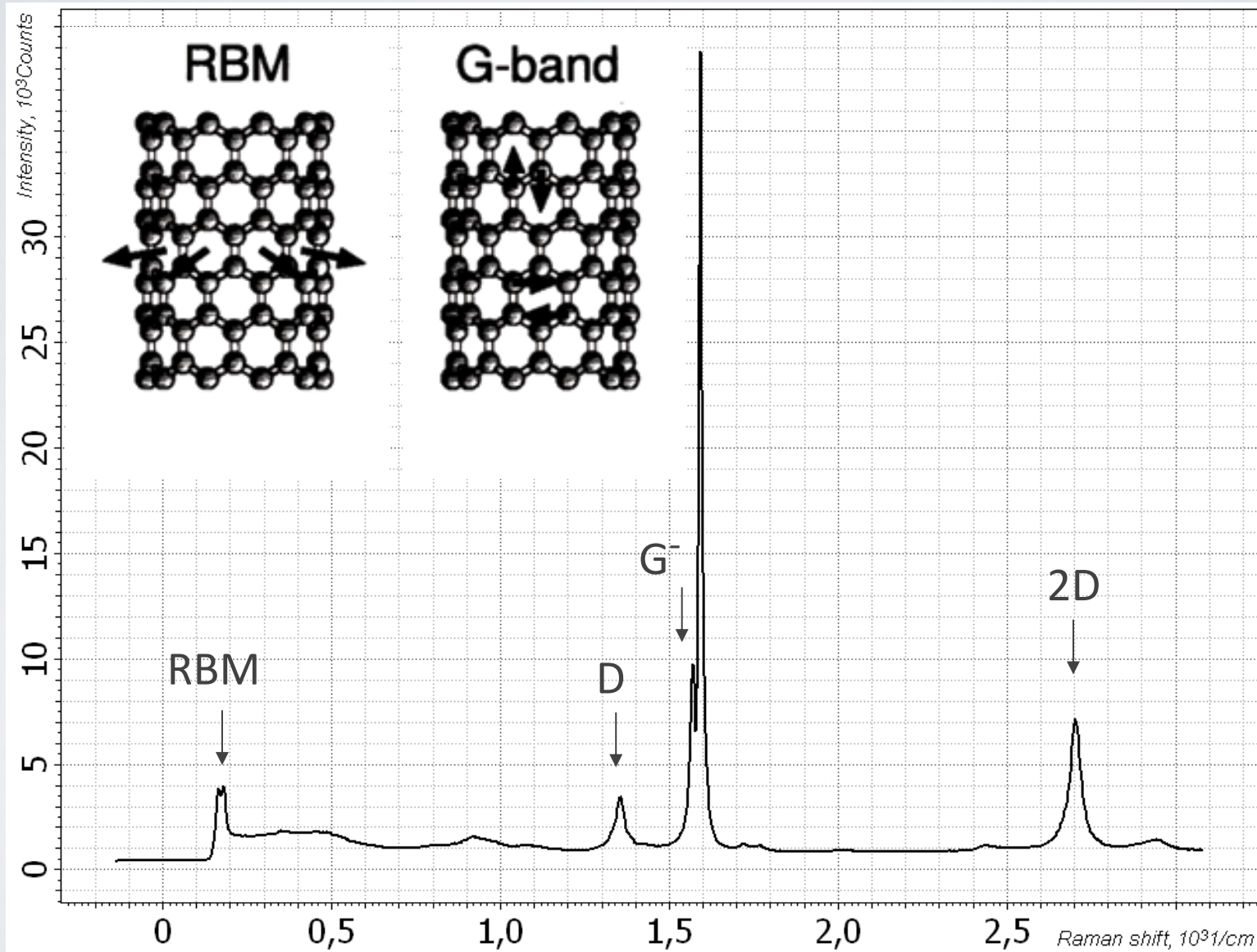


- True confocal design. Motorized confocal pinhole.
- Diffraction limited resolution guaranteed (e.g. 200 nm for blue laser, immersion optics)
- Extremely high optical throughput (~70-80 % for spectrometer, ~40-50% sample-to-detector)
- Fully motorized laser change (up to 3 / 5 lasers). UV – VIS – IR region
- Fully motorized: polarization optics, zoom beam expander, pinhole, 4 gratings
- Can be equipped by fastest and most sensitive detectors available (FI/BI CCD, EMCCD, DD-CCD etc.)
- Zoom beam expander – to guarantee diffraction limited laser spot to every objective
- Three optical ports for detectors: two in monochromator, one in separate channel

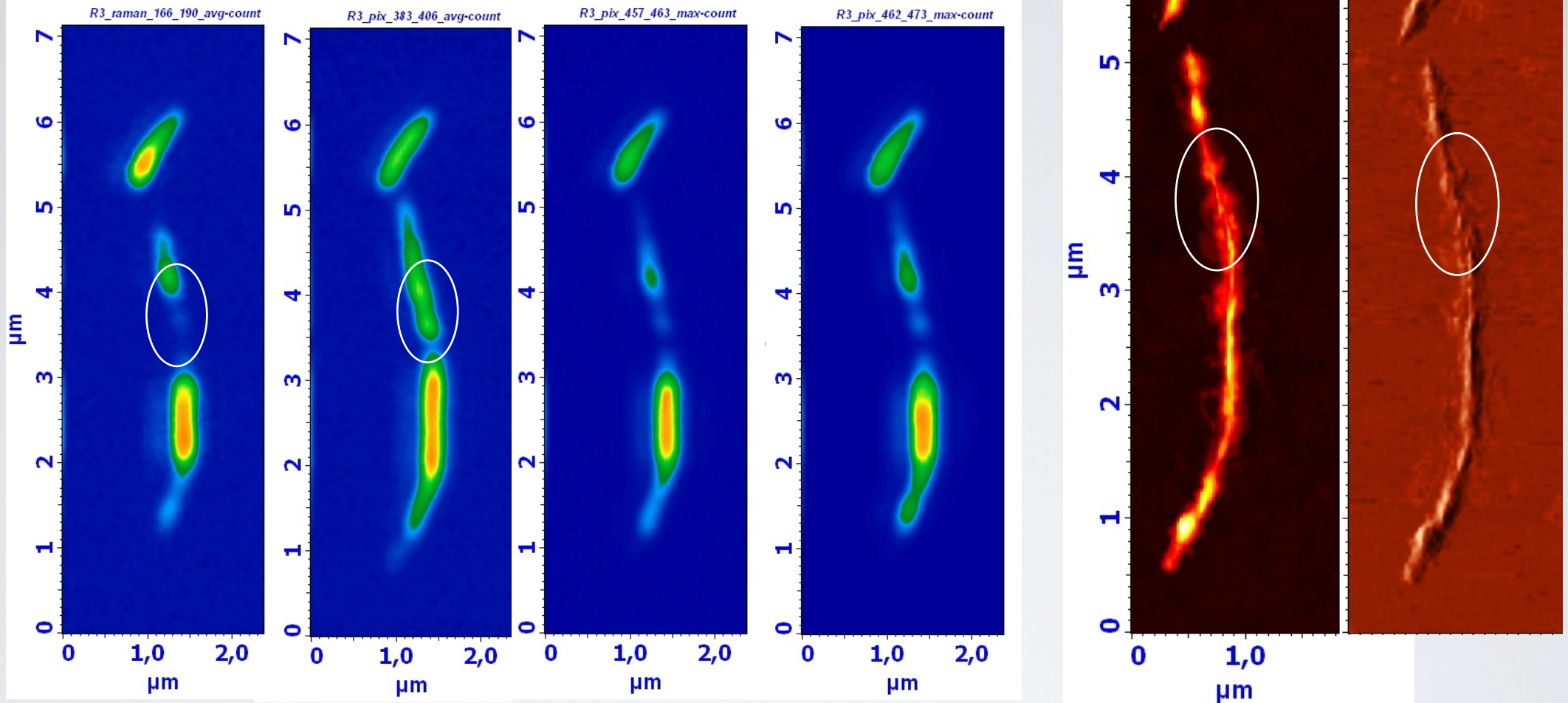
Sample: SWCNTs, Raman spectrum of nanotube bundle

Grating: 600 lines/mm \downarrow G⁺

Laser: 473 nm



Intensity distribution of different Raman bands & AFM topography image of individual NT bundle



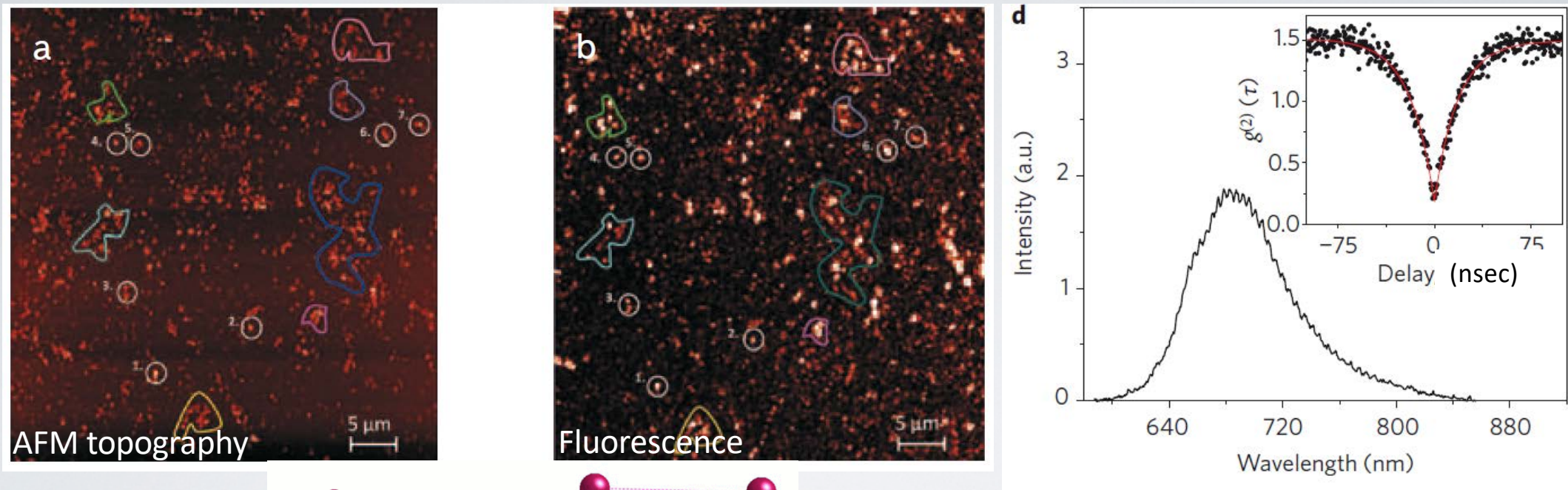
RBM-band D-band G⁻-band G⁺-band

AFM height AFM phase

Integration time: 100 ms / point. 50*150 points.

Total spectrum was acquired at each point of the scan. After measurement, different Raman bands are chosen and their intensity distribution is analyzed. All the images (AFM + all Raman maps) can be obtained simultaneously, in a single experiment, without any moving of the sample or objective

Nitrogen vacancy color centers in nanodiamonds



Observation of nitrogen-vacancy (NV) color centers in *discrete* detonation nanodiamonds

(a) AFM topography image; smallest particles observed are discrete isolated nanodiamonds of ~5 nm size. (b) Confocal fluorescence map of the same sample area; nitrogen-vacancy luminescence from isolated nanodiamonds is clearly seen. (c) Luminescence spectrum of individual NV center in a 5 nm crystal host.

C. Bradac et al., *Nature Nanotechnology* 5, 345 - 349 (2010)

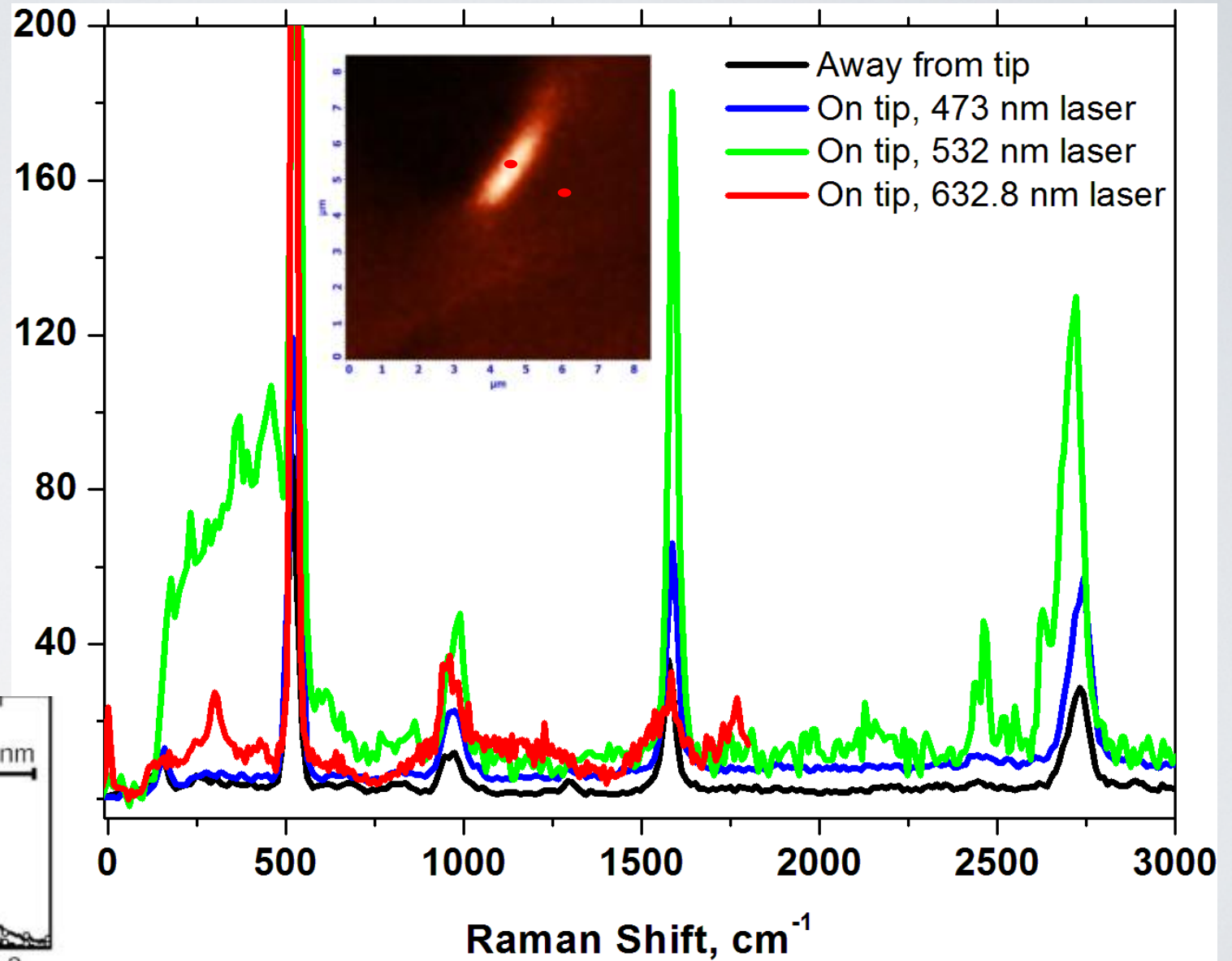
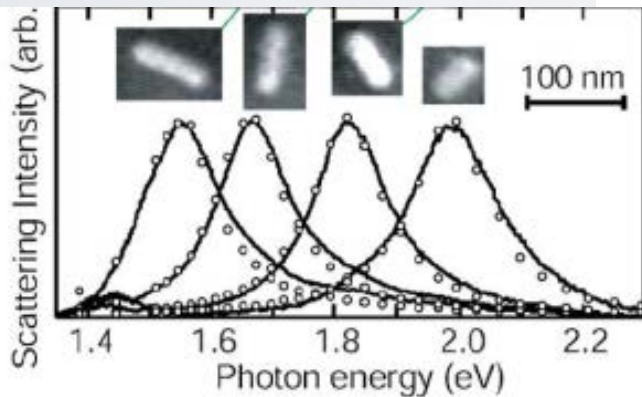
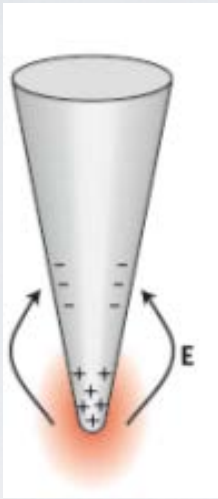
Image Credit: A/Prof. James Rabeau, Quantum Materials and Applications group, Department of Physics and Astronomy, Macquarie University (Sydney, Australia)

Wavelength dependence of TERS enhancement, graphene on SiO2

Laser:
633 nm, 532 nm, 473 nm

Tip: Au coated cantilever

Mode: Non-contact



Graphene, AFM + Raman spectroscopy of Raman scattering

A single scan - a lot of data



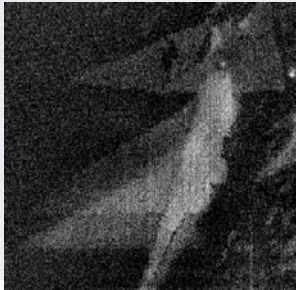
Lateral Force Microscopy
(friction)



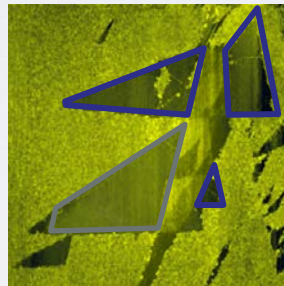
Electrostatic Force Microscopy
(charge distribution)



Force Modulation Microscopy
(elasticity)



Capacitance Microscopy

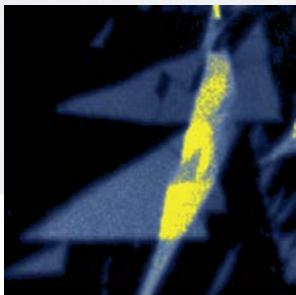


AFM Topography

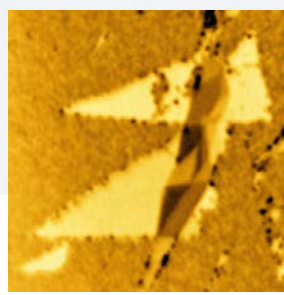
Size: 30*30 μm



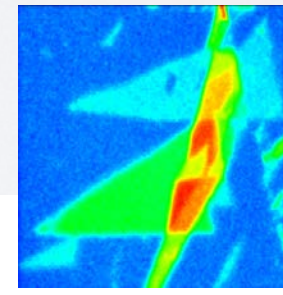
Scanning Kelvin Probe Microscopy
(surface potential)



Raman Map, 2D Band position



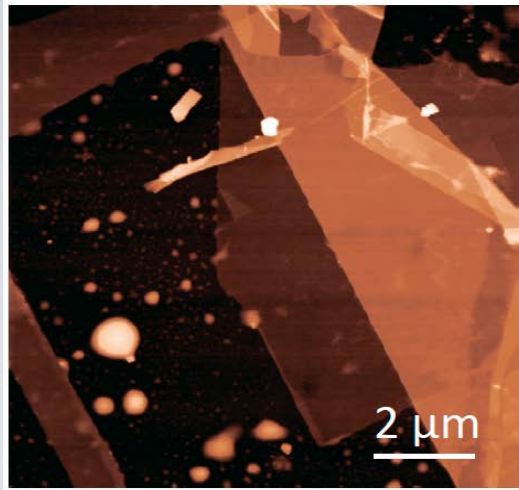
Confocal Rayleigh Microscopy



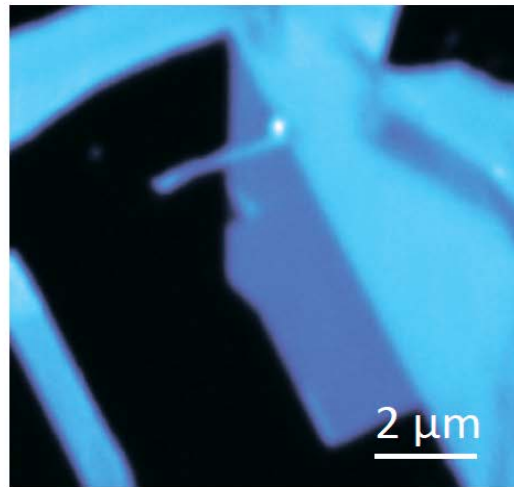
Raman Map, G-band Intensity

Graphene scales on Si/SiO₂

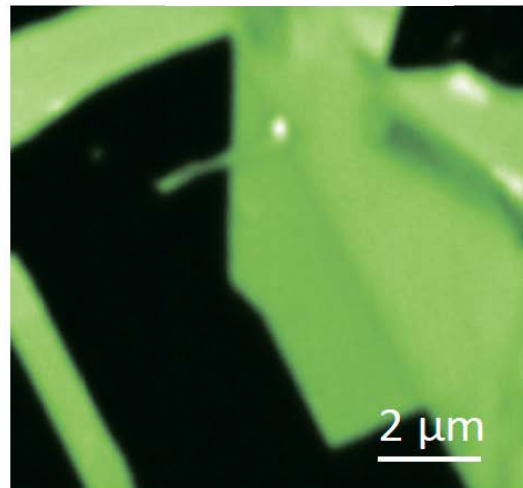
Чешуйки графена на Si/SiO₂



Topography

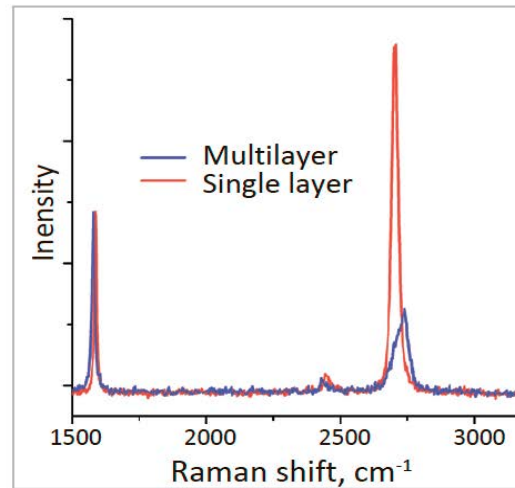


The intensity of the G-band

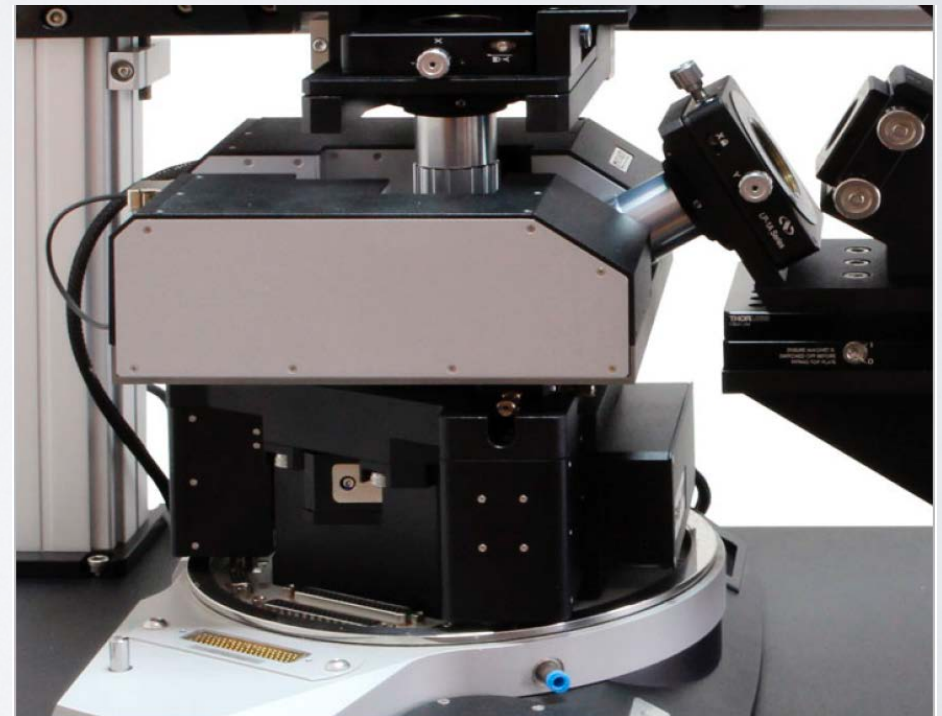
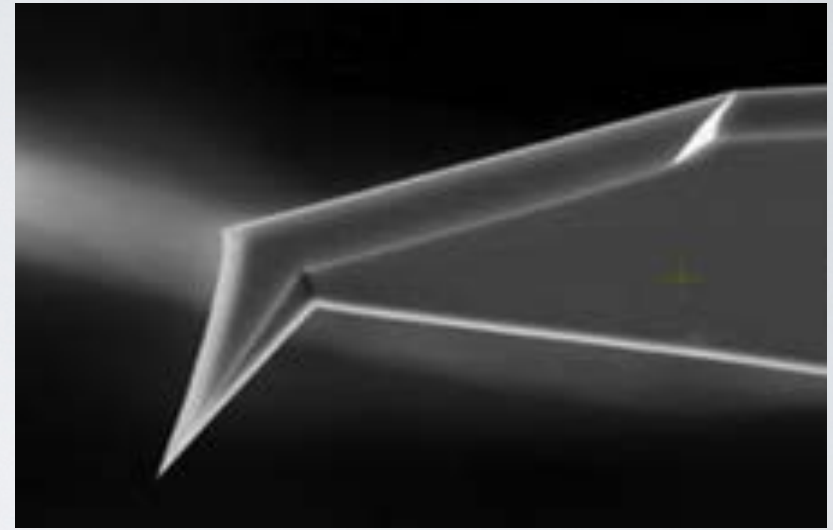


Интенсивность 2D полосы

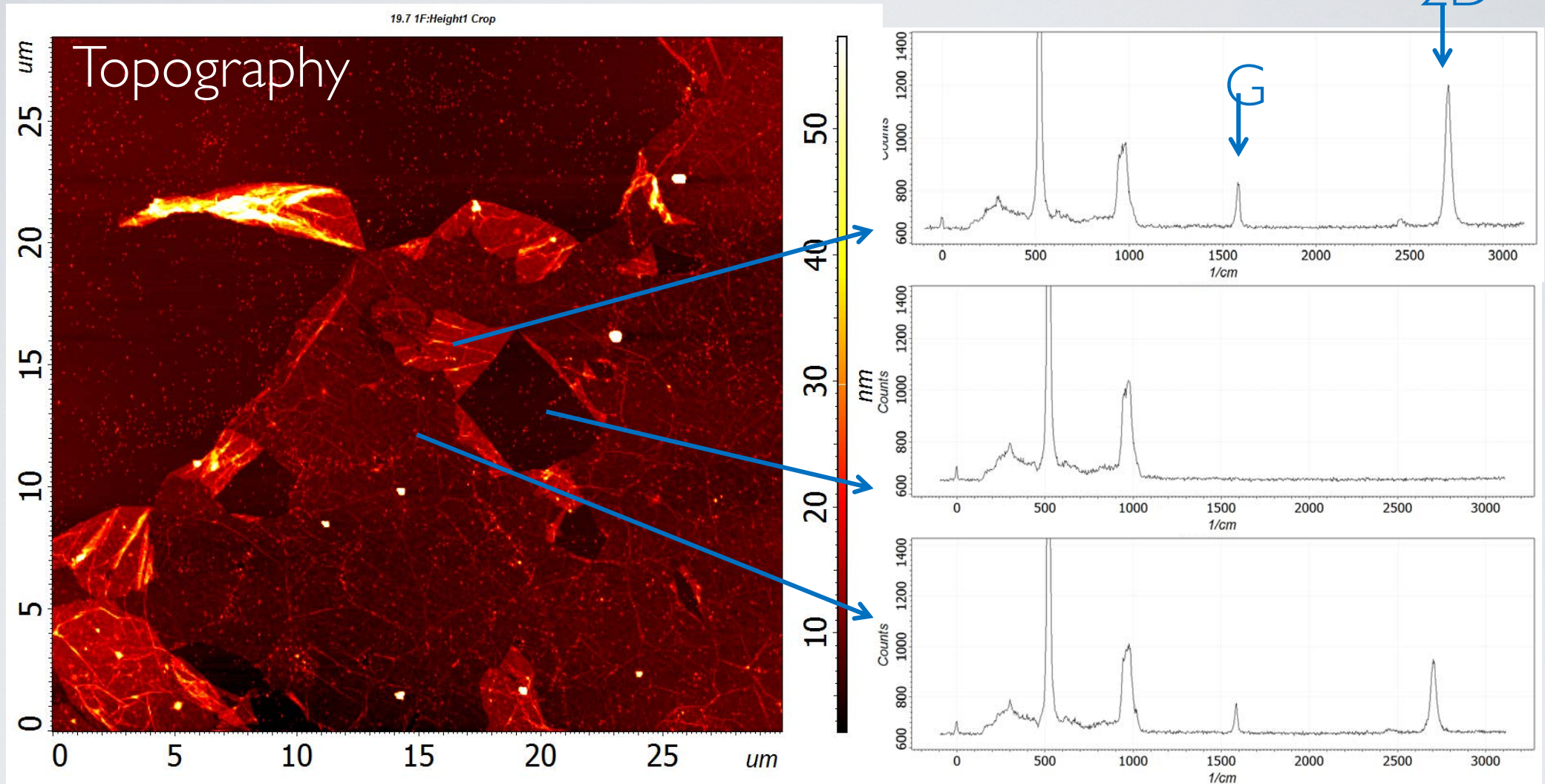
The intensity of the 2D-band



Рамановский спектр



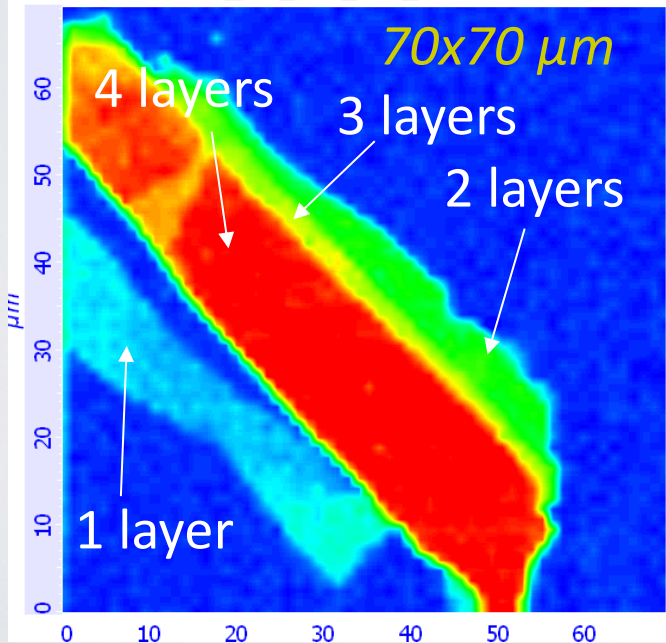
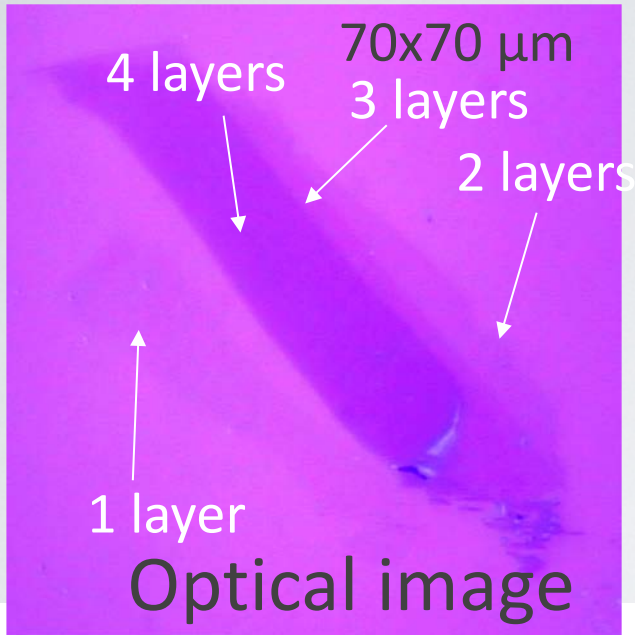
Graphene on SiO₂/Si: AFM topography and single point Raman spectrum



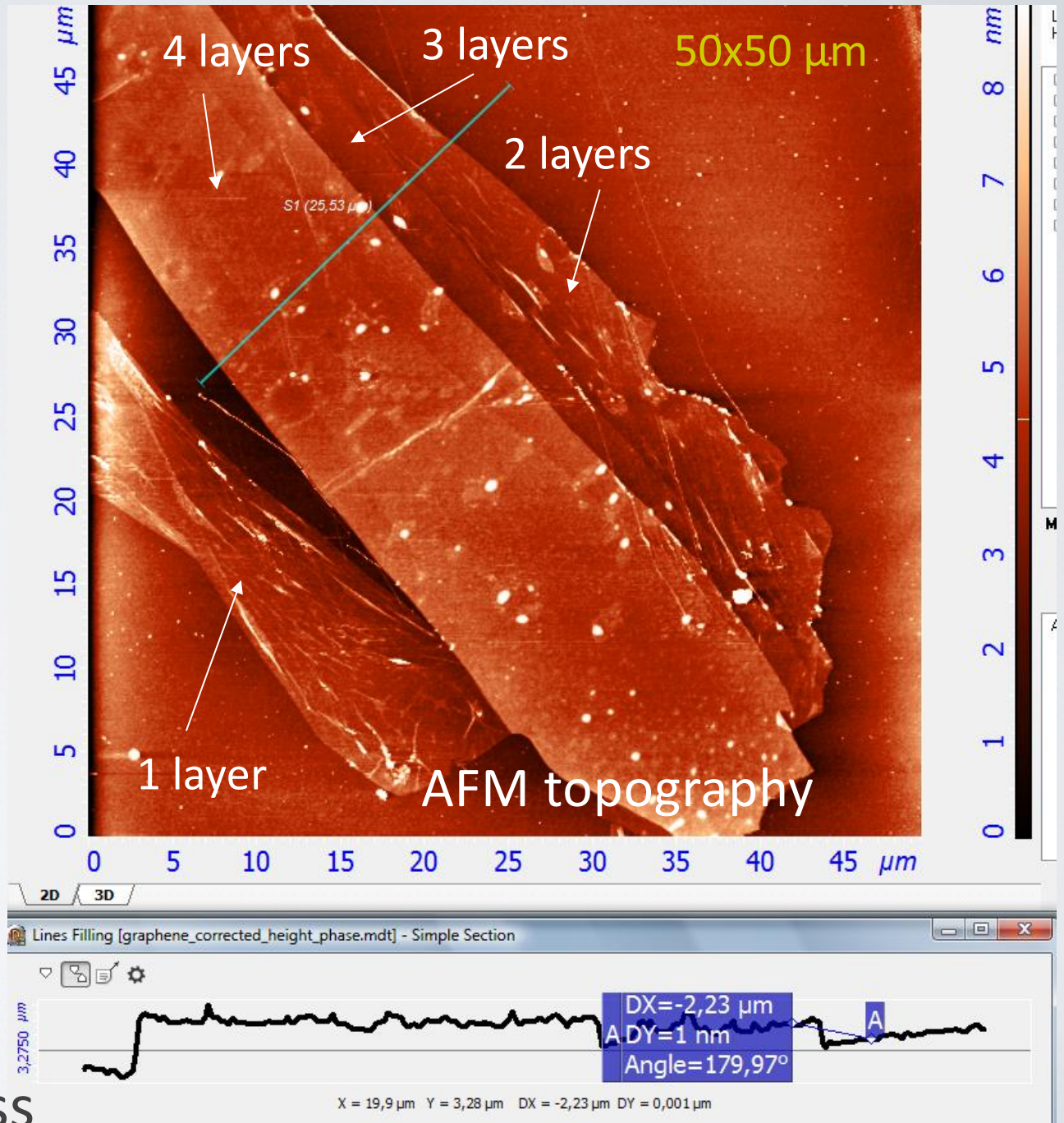
30x30 μm AFM (topography) and Raman spectra.

512x512 points. Laser power ~8 mW. 473 nm laser. 0.3s exposure time

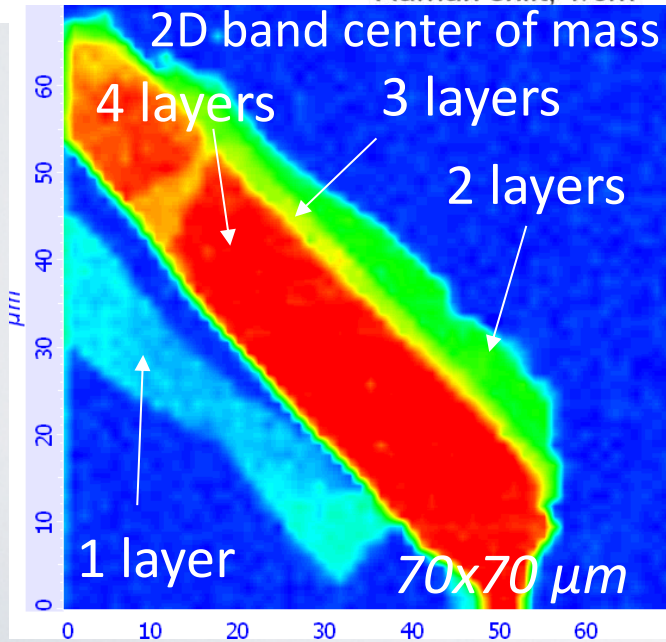
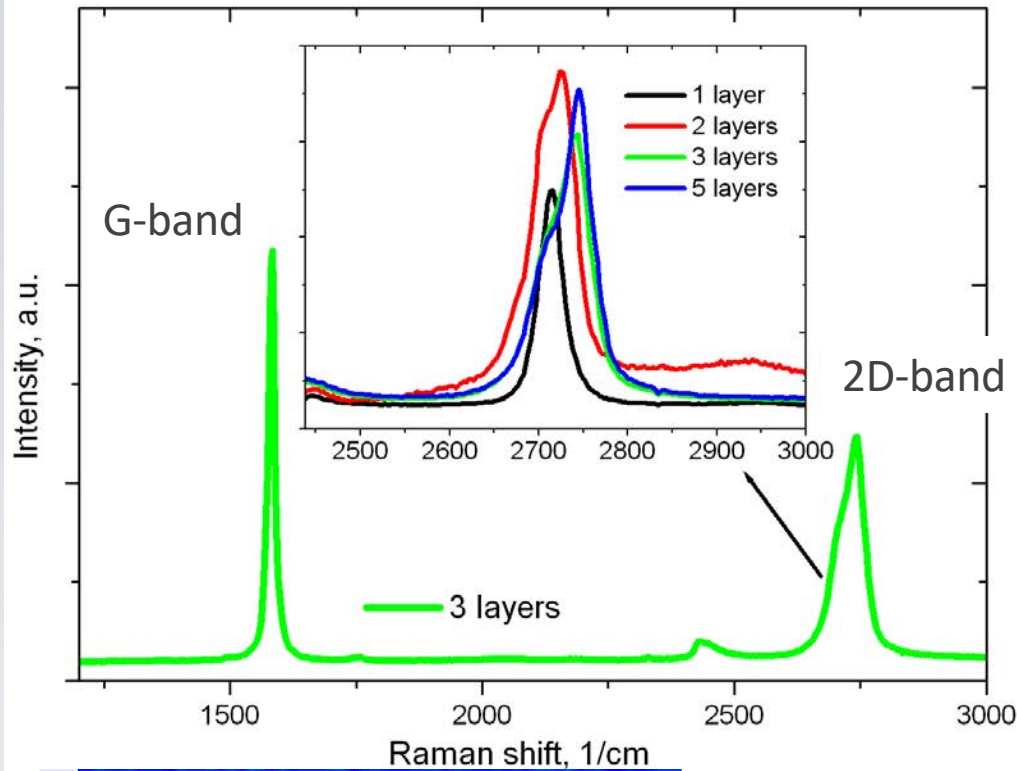
Graphene flakes: AFM & Raman microscopy



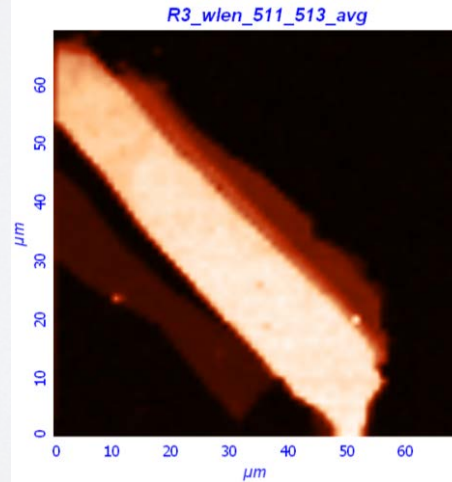
2D band center of mass



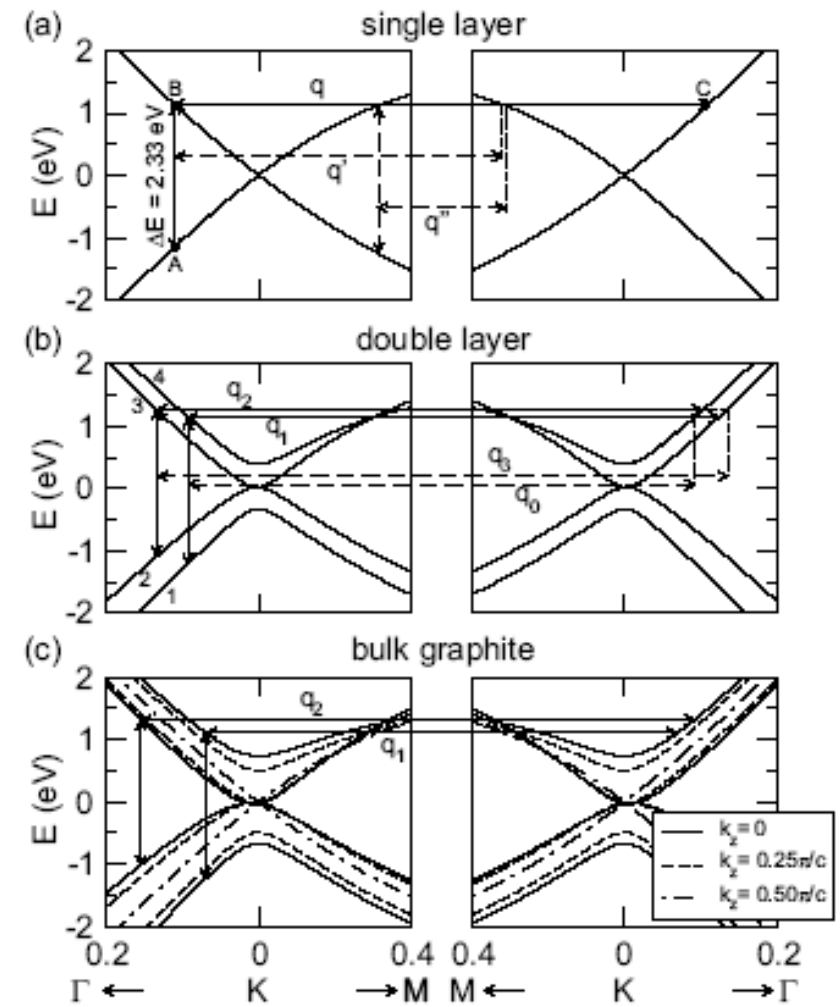
Raman spectroscopy of graphene flakes



G-band intensity



From: Davy Graph et al., 2006



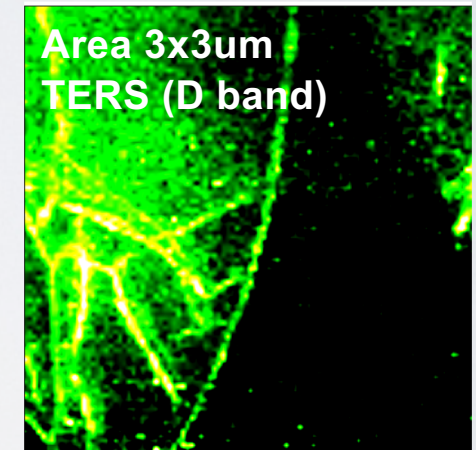
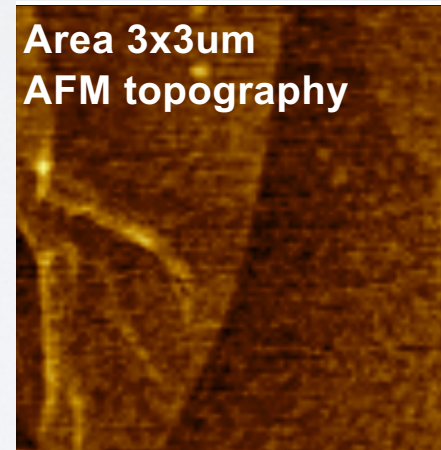
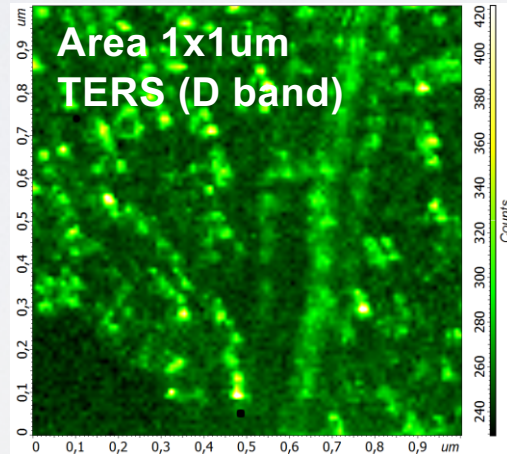
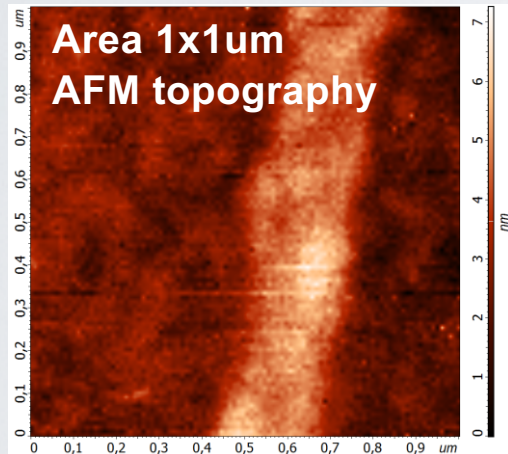
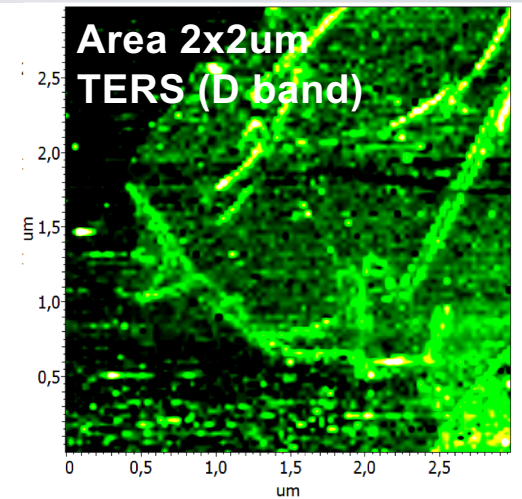
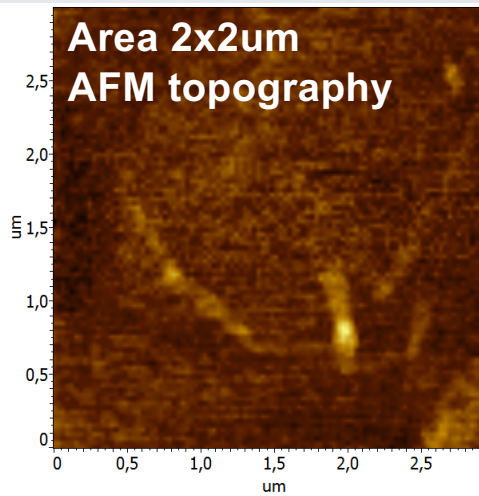
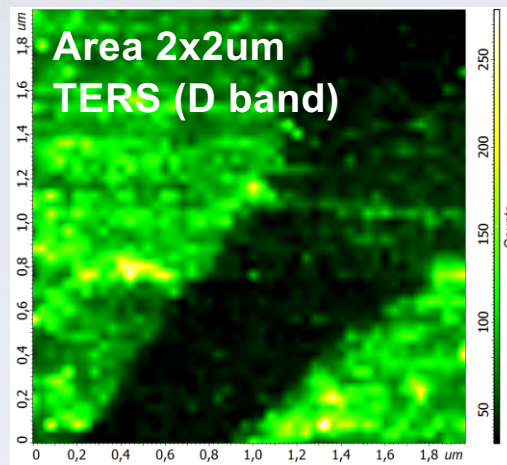
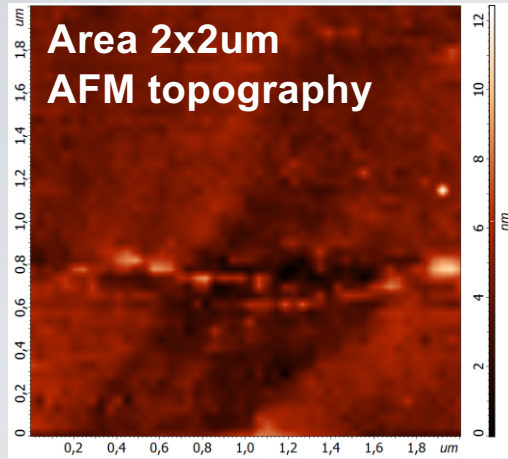
Double resonant Raman scattering – origin of 2D peak

NTEGRA Spectra

Data measured: P.Dorozhkin & E. Kuznetsov, NT-MDT

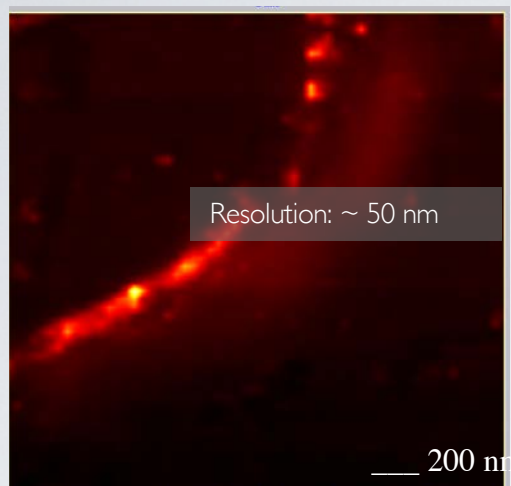
TERS on Graphene Oxide

AFM TERS cantilevers, HYBRID regime

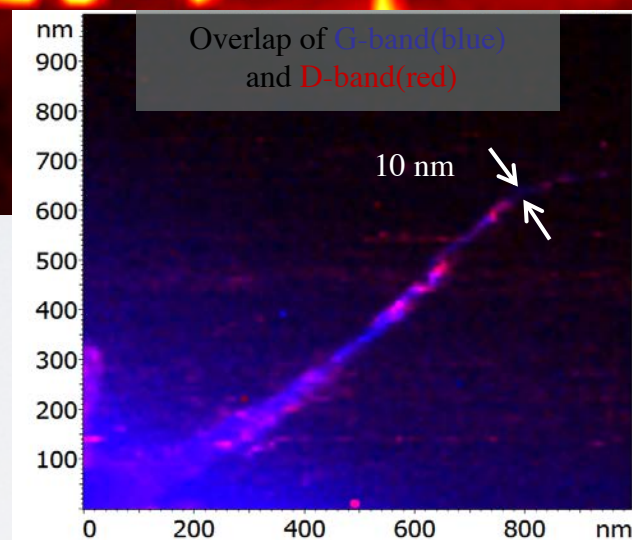
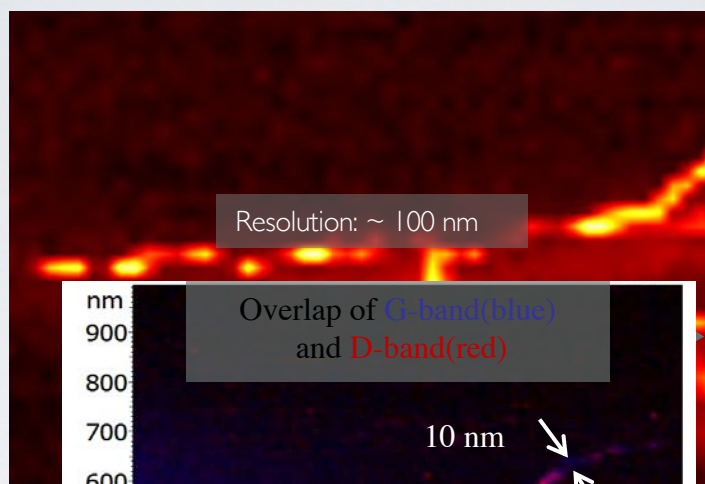


Typical resolution we obtain: $\sim 10 - 40$ nm.

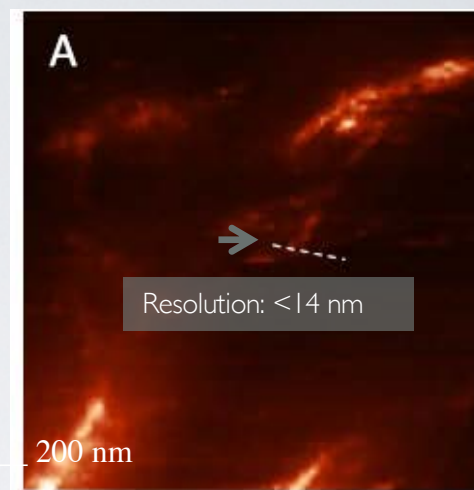
TERS of Carbone Nanotubes



S.S. Kharintsev, G. Hoffmann, P.S. Dorozhkin, G. de With, and J. Loos, *Nanotechnology* 18 (2007), 315502

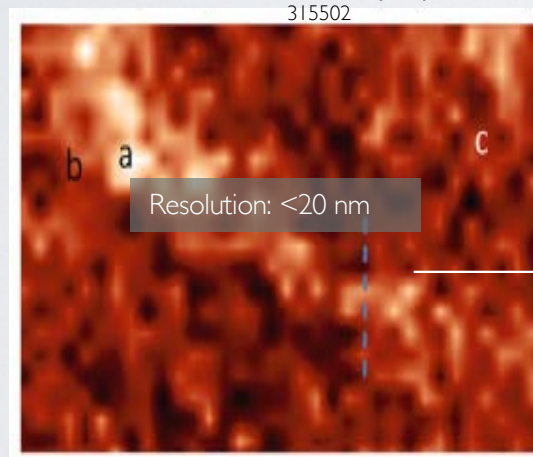


S. Kharintsev, G. Hoffmann, A. Fishman, & M. Salakhov *J. Phys. D: Appl. Phys.* 46 (2013) 145501

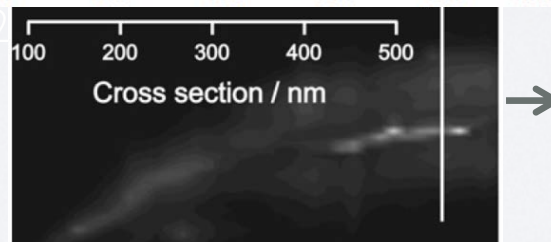


Chan K.L., Kazarian S.G., *Nanotechnology* 21, 445704 (2010)

Resolution: < 14 nm



Chan K.L., Kazarian S.G., *Nanotechnology* 22, 175701 (2011)

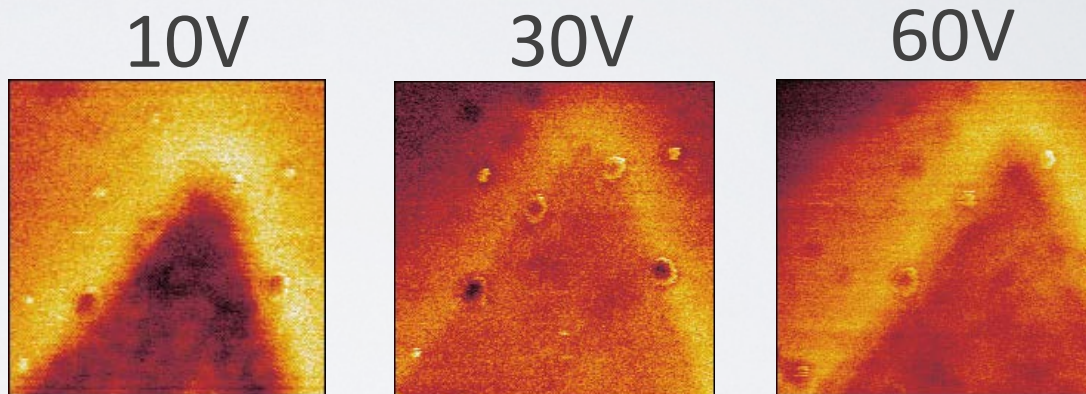
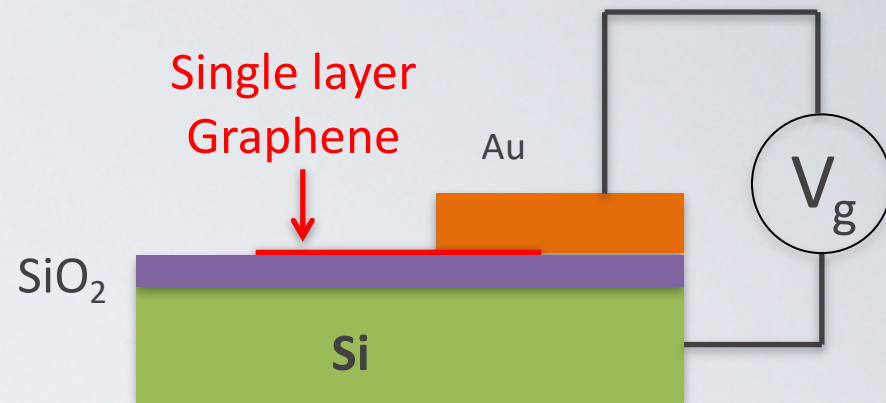
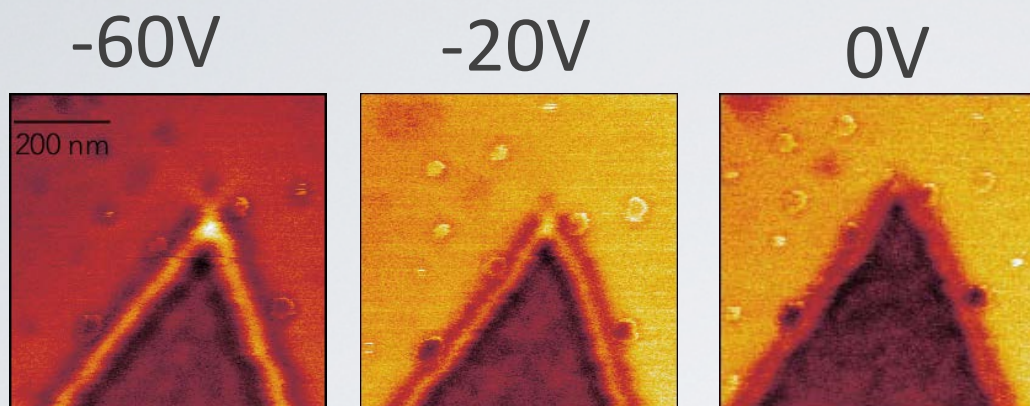


M. Zhang, J. Wang, Q. Tian, *Optics Communications* 315, 164 (2014)

Gated Graphene on SiO₂

Real(Reflection) for $\lambda = 10.6\mu\text{m}$

Sample schematic



- 4 minutes per image
- 10nm resolution
- Tip launched plasmons clearly respond to V_g

Re(nR) Im(nR) Ampl. Phase

What about Amplitude and Phase?
The Nano Raman can do that too!

Carbon nanotubes degraded by neutrophil myeloperoxidase induce less pulmonary inflammation

Valerian E. Kagan^{1*}, Nagarjun V. Konduru¹, Weihong Feng¹, Brett L. Allen², Jennifer Conroy³, Yuri Volkov³, Irina I. Vlasova¹, Natalia A. Belikova¹, Naveena Yanamala⁴, Alexander Kapralov¹, Yulia Y. Tyurina¹, Jingwen Shi⁵, Elena R. Kisin⁶, Ashley R. Murray⁶, Jonathan Franks⁷, Donna Stolz⁷, Pingping Gou², Judith Klein-Seetharaman⁴, Bengt Fadeel⁵, Alexander Star² and Anna A. Shvedova⁶

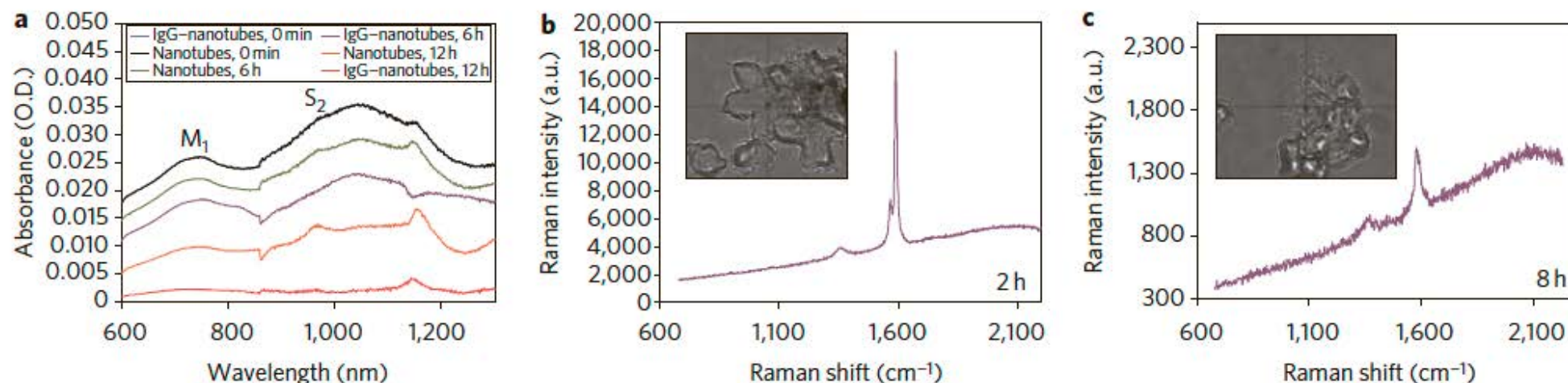
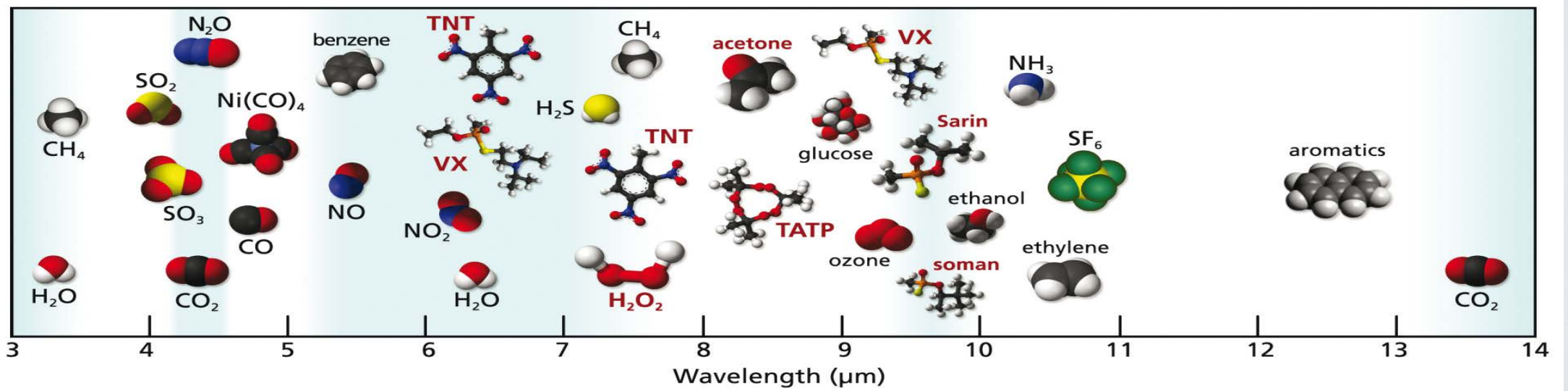
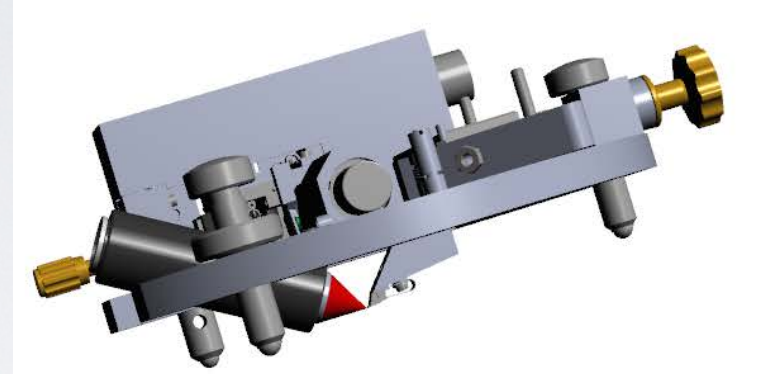
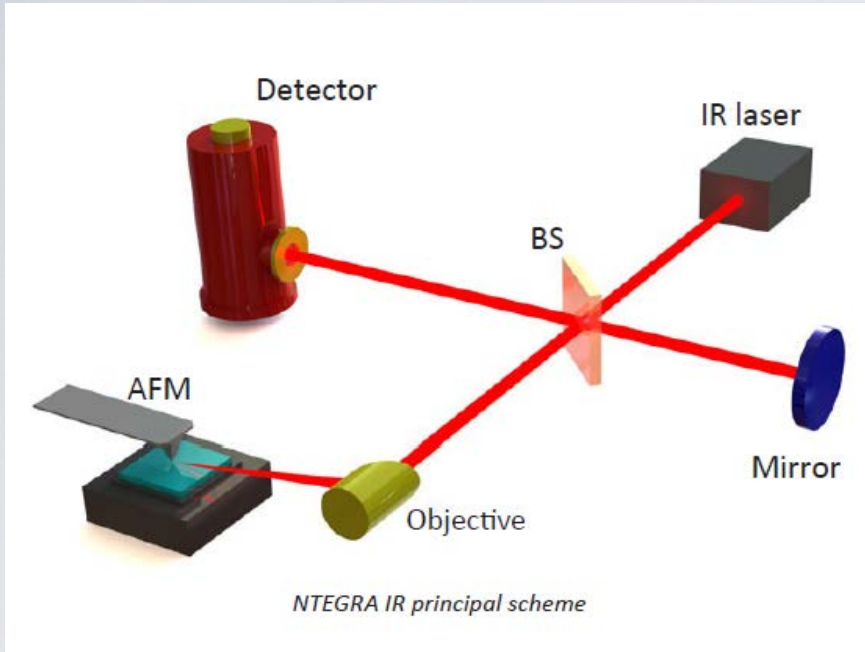


Figure 4 | Biodegradation of nanotubes in neutrophils evaluated by infrared and Raman spectroscopy. **a**, Vis-NIR spectra showing biodegradation of nanotubes and IgG-nanotubes by human neutrophils after 0, 6 and 12 h. O.D., optical density. **b,c**, Raman spectra (excitation, 473 nm) recorded from different areas of neutrophils containing IgG-nanotubes at 2 h (**b**) and 8 h (**c**). Inset shows bright-field image of the neutrophils with engulfed IgG-nanotubes. The Raman spectra (red lines) with their corresponding G- and D-bands recorded from different areas of neutrophils are indicated by the cross-wire on the bright-field images.

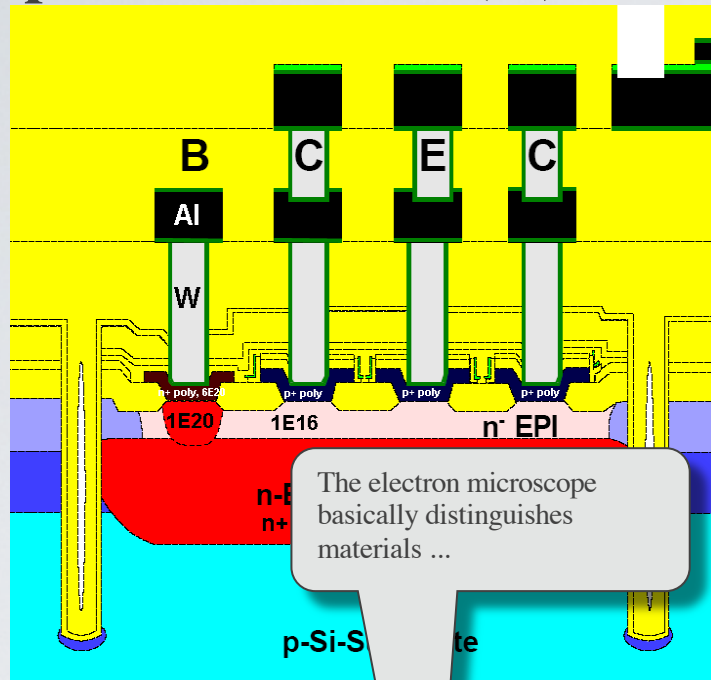
Aperture Less Nearfield Optical Microscope Head (s-SNOM Head) with IR lens



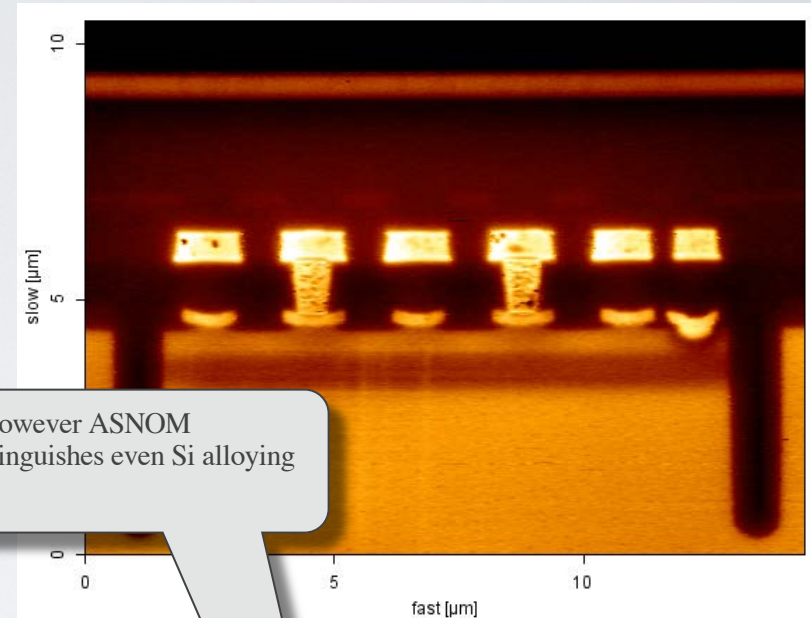
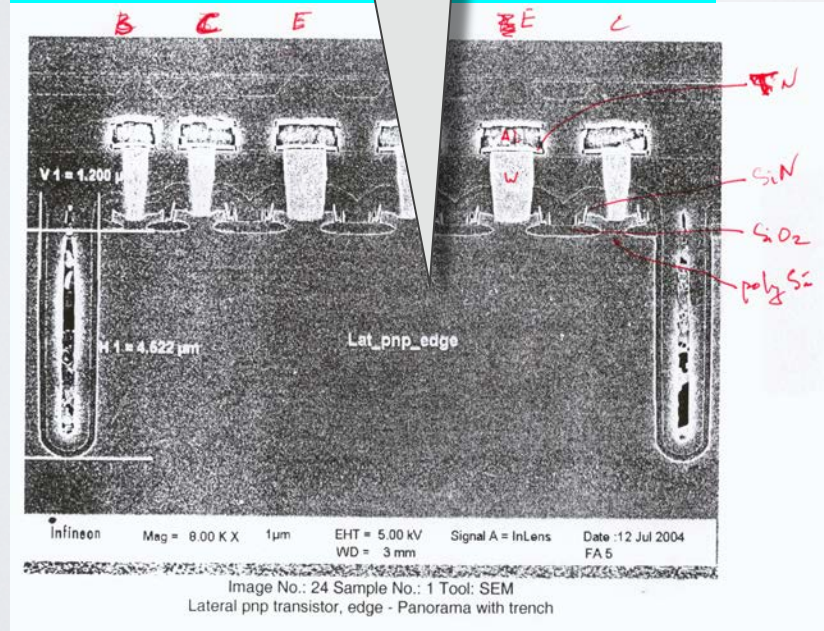


- IR microscopy and spectroscopy with 10 nm resolution
- Wide spectral range of operation: 3-12 μm
- Incredibly low thermal drift and high signal stability
- Versatile AFM with advanced modes: SRI (conductivity), KPFM (surface potential), SCM (capacitance), MFM (magnetic properties), PFM (piezoelectric forces)
- HybriD Mode - quantitative nanomechanical mapping
- Integration with Raman (optionally)

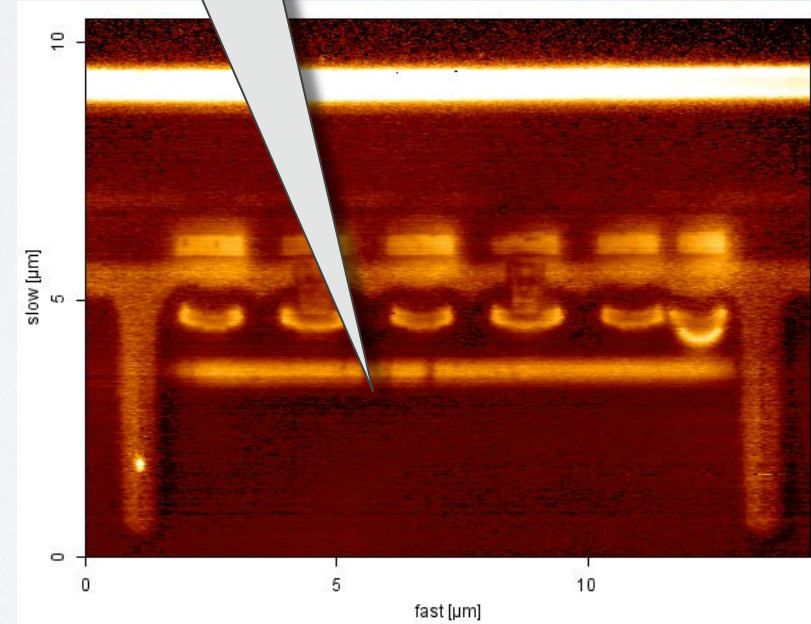
Bipolar transistor (Si) Skew plate with a planar p-n-p transistor



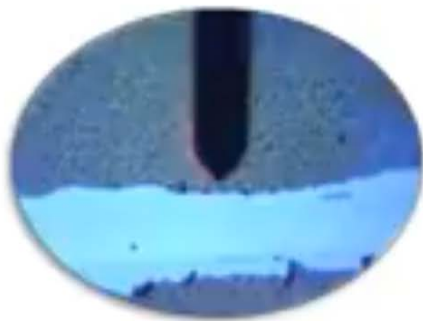
The electron microscope basically distinguishes materials ...



... however AS-NOM distinguishes even Si alloying



FastSpectra: Reverse Osmosis Membrane



Optical Image

Height



IR image at 1660 cm^{-1}

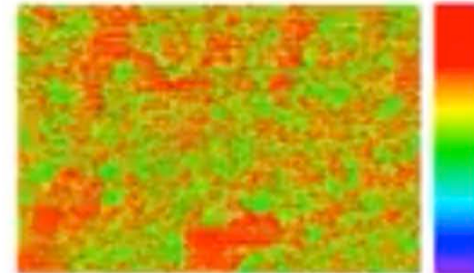
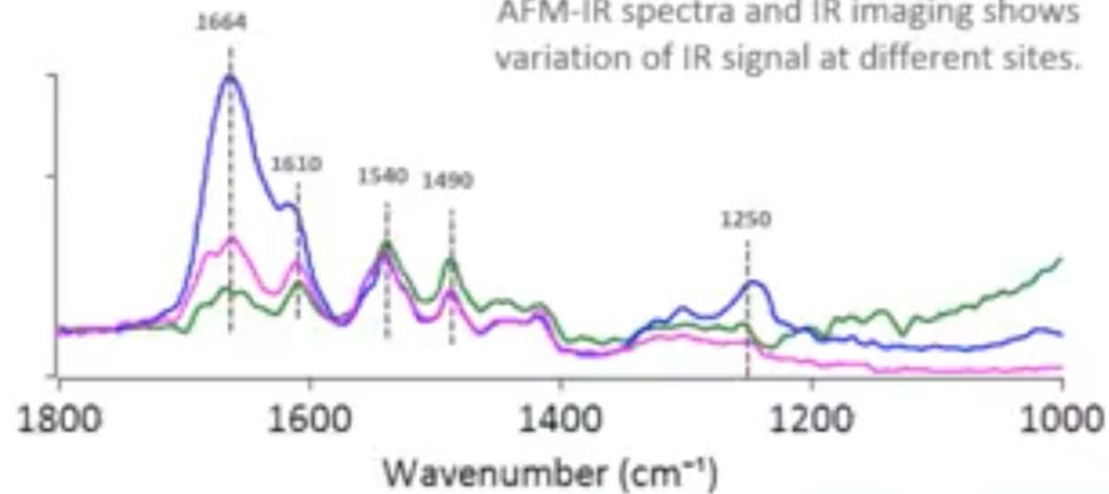
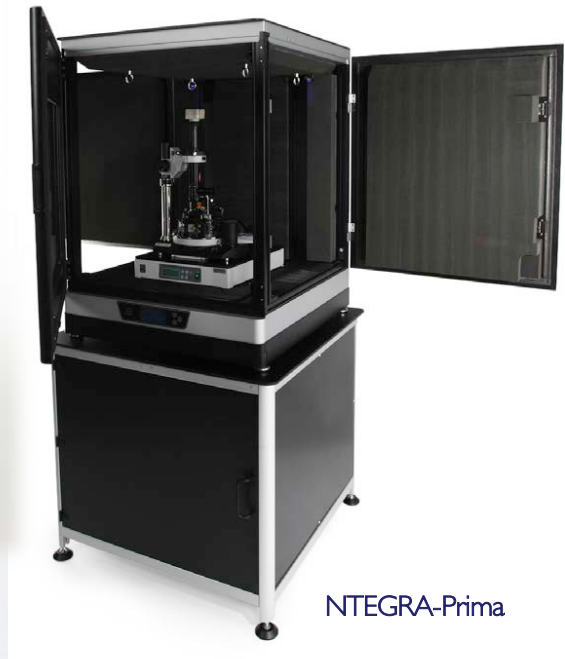
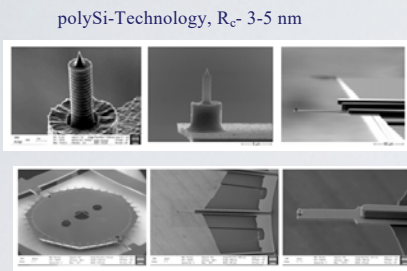
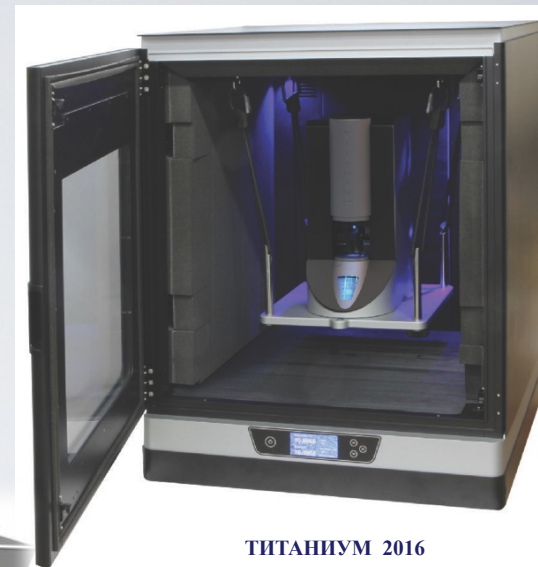


Image size: 15 μm x 10 μm



NT-MDT Spectrum Instruments Product Line



Новые типы кантилеворов (2015 -2016 г.г.)

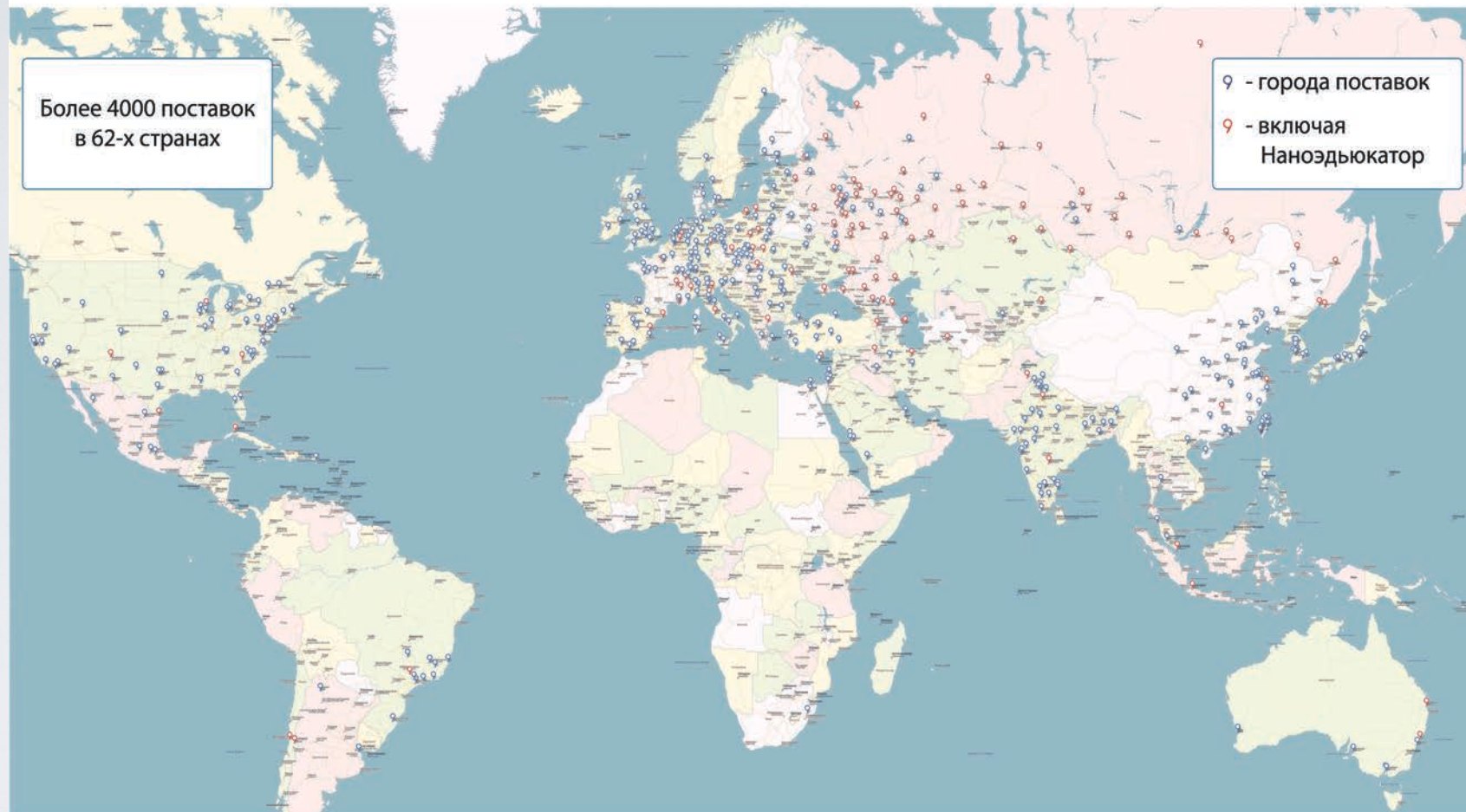


SOLVER-Pipe -2017





География поставок оборудования по России и миру





NT-MDT

Spectrum Instruments